

สำนักหอสมุดกลาง พระจอมเกล้าลาดกระบัง

การควบคุมตำแหน่งของมอเตอร์กระแสตรงโดยตัวควบคุมแบบสองชั้นความอิสระ

POSITION CONTROL OF DC MOTOR BY USING  
TWO-DEGREE-OF-FREEDOM CONTROLLER



วันที่  
๑๖/๕/๒๕๔๘

เลขหมู่.....  
เลขทะเบียน..... 62536  
วัน,เดือน,ปี..... 19 ส.ค. 2549

b. 1162593A  
i.....

ปริญญาานิพนธ์นี้เป็นส่วนหนึ่งของการศึกษาตามหลักสูตรปริญญาวิศวกรรมศาสตรบัณฑิต  
สาขาวิชาวิศวกรรมแมคคาทรอนิกส์  
สถาบันเทคโนโลยีพระจอมเกล้าเจ้าคุณทหารลาดกระบัง  
ปีการศึกษา 2548

เอกสารนี้เป็นเอกสารที่สงวนไว้สำหรับการใช้งานเพื่อการศึกษาเท่านั้น ไม่อนุญาตให้นำไปใช้ประโยชน์ด้านการค้า  
ไม่ว่ากรณีใดๆ ทั้งสิ้น อีกทั้งห้ามมิให้ดัดแปลงเนื้อหา และต้องอ้างอิงถึงเจ้าของเอกสารทุกครั้งที่มีการนำไปใช้

ปริญญาานิพนธ์ปีการศึกษา 2548

ภาควิชาวิศวกรรมระบบควบคุม

สาขาวิชาแมคคาทรอนิกส์

คณะวิศวกรรมศาสตร์ สถาบันเทคโนโลยีพระจอมเกล้าเจ้าคุณทหารลาดกระบัง

เรื่อง การควบคุมตำแหน่งของมอเตอร์กระแสตรงโดยตัวควบคุมแบบสองชั้นความอิสระ  
**Position Control of DC Motor by using Two-Degree-of-Freedom Controller**

ผู้จัดทำ นางสาวอรุณันต์ ปัญญาสันติสุข 45010109  
นางสาวจุฑามาศ วงศ์รัชชัย 45010136



.....อาจารย์ที่ปรึกษา  
(อาจารย์คอง อิศรากร)



.....อาจารย์ที่ปรึกษา  
(อาจารย์สองเมือง นันทขว้าง)

เอกสารนี้เป็นเอกสารที่สงวนไว้สำหรับการใช้งานเพื่อการศึกษาเท่านั้น ไม่อนุญาตให้นำไปใช้ประโยชน์ด้านการค้า  
ไม่ว่ากรณีใดๆ ทั้งสิ้น อีกทั้งห้ามมิให้ตัดแปลงเนื้อหา และต้องอ้างอิงถึงเจ้าของเอกสารทุกครั้งที่มีการนำไปใช้

# การควบคุมตำแหน่งของมอเตอร์กระแสตรงโดยตัวควบคุมแบบสองชั้นความอิสระ

## Position Control of DC Motor by using Two-Degree-of-Freedom Controller

โดย

นางสาวจรรนันต์ ปัญญาสันติสุข 45010109

นางสาวจุฑามาศ วงศ์รัชชัย 45010136

อาจารย์ที่ปรึกษา

อาจารย์สอน อิศรากร

อาจารย์สองเมือง นันทขว้าง

### บทคัดย่อ

ในการควบคุมการเคลื่อนที่ของมอเตอร์กระแสตรงในเครื่องจักรนั้น มีการนำตัวควบคุมแบบพีไอดี (PID Controller) มาใช้กันอย่างแพร่หลาย ในขณะที่ตัวควบคุมชนิดอื่นเช่นตัวควบคุมแบบไอพีดี (IPD Controller) นั้นถูกนำมาใช้บ้างในบางระบบ แต่ตัวควบคุมเหล่านี้ไม่สามารถปรับแต่งค่าพารามิเตอร์ ให้มีความสามารถในการตอบสนองสัญญาณอ้างอิงที่รวดเร็วและการกำจัดสัญญาณรบกวนที่ดีได้อิสระจากกัน ซึ่งเรียกว่าตัวควบคุมแบบหนึ่งชั้นความอิสระ ในงานวิจัยนี้จึงขอเสนอตัวควบคุมแบบสองชั้นความอิสระ ซึ่งสามารถออกแบบค่าพารามิเตอร์ให้ระบบมีคุณสมบัติทั้งสองอย่างที่ต้องการ ได้อย่างเหมาะสมต่อการควบคุมตำแหน่งของมอเตอร์กระแสตรง ในส่วนของการปรับแต่งค่าพารามิเตอร์ของตัวควบคุมสองชั้นความอิสระนั้นจะใช้วิธีแผนผังค่าสัมประสิทธิ์ (CDM) เนื่องจากเป็นวิธีที่ง่ายและมีประสิทธิภาพ จากผลการจำลองและการทดลองได้แสดงให้เห็นถึงสมรรถนะของระบบควบคุมที่นำเสนอ

เอกสารนี้เป็นเอกสารที่สงวนไว้สำหรับการใช้งานเพื่อการศึกษาเท่านั้น ไม่อนุญาตให้นำไปใช้ประโยชน์ด้านการค้าไม่ว่ากรณีใดๆ ทั้งสิ้น อีกทั้งห้ามมิให้ตัดแปลงเนื้อหา และต้องอ้างอิงถึงเจ้าของเอกสารทุกครั้งที่มีการนำไปใช้

การควบคุมตำแหน่งของมอเตอร์กระแสตรงโดยตัวควบคุมแบบสองชั้นความอิสระ  
Position Control of DC Motor by using Two-Degree-of-Freedom Controller

โดย

นางสาวจรรนันต์ ปัญญาสันติสุข 45010109

นางสาวจุฑามาศ วงศ์รัชชัย 45010136

อาจารย์ที่ปรึกษา

อาจารย์คณ อิศรากร

อาจารย์สองเมือง นันทขว้าง

**ABSTRACT**

To control the position of DC Motor, the PID controller has been widely used, while other types such as the I-PD controller have been applied in some applications. However, these controllers, which are called one-degree-of-freedom controllers, could not be tuned to meet both tracking and regulation characteristics. Hence, this project presents position control of dc motor by using two-degree-of freedom controller which compromises both tracking and disturbance rejection performance. The parameter of two-degree-of freedom controller can be designed by the Coefficient Diagram Method, which is an efficient and simple method to design the parameters. The effectiveness of the proposed controller is demonstrated by the several simulations and experiments.

เอกสารนี้เป็นเอกสารที่สงวนไว้สำหรับการใช้งานเพื่อการศึกษาเท่านั้น ไม่อนุญาตให้นำไปใช้ประโยชน์ด้านการค้า  
ไม่ว่ากรณีใดๆ ทั้งสิ้น อีกทั้งห้ามมิให้ดัดแปลงเนื้อหา และต้องอ้างอิงถึงเจ้าของเอกสารทุกครั้งที่มีการนำไปใช้

## คีตติกรรมประกาศ

ปริญญานิพนธ์ฉบับนี้สำเร็จได้ด้วยดี คณะผู้จัดทำขอกราบขอบพระคุณอาจารย์ที่ปรึกษา อาจารย์คอน อิศรากร เป็นอย่างสูง ที่ได้ให้คำปรึกษาแนวทางในการแก้ปัญหา ความคิดริเริ่ม ตลอดจนการฝึกฝนให้คณะผู้จัดทำมีความสามารถในการทำวิจัยได้อย่างมีประสิทธิภาพ รวมถึงให้ความเอาใจใส่ดูแลสอบถามถึงความก้าวหน้าอย่างสม่ำเสมอ ทำให้คณะผู้จัดทำทำงานอย่างมีระบบ และใช้เวลาอย่างมีประสิทธิภาพ

ขอขอบพระคุณ อาจารย์สองเมือง นันทขว้าง ที่ได้ให้คำแนะนำและให้คำปรึกษา ให้ความกรุณาเอื้อเฟื้ออุปกรณ์ที่จำเป็น และความช่วยเหลืออื่นๆ แก่คณะผู้จัดทำ และยังขอขอบพระคุณ คณาจารย์ทุกท่านที่ได้ประสิทธิประสาทวิชาความรู้แก่คณะผู้จัดทำ

ขอขอบพระคุณ อาจารย์ถาวร เเบญจนราษฎร์ ที่ได้ให้คำปรึกษาแนะนำวิธีการแก้ปัญหา ต่างๆ ที่เกิดขึ้นทั้งทางทฤษฎีและทางปฏิบัติแก่คณะผู้จัดทำเสมอมา ทำให้ผู้จัดทำเข้าใจปัญหานั้นๆ

ขอขอบคุณ ภาควิชาวิศวกรรมระบบควบคุม ที่ได้เอื้อเฟื้ออุปกรณ์และเครื่องมือในการทำ วิจัย ตลอดจนอำนวยความสะดวกให้แก่คณะผู้จัดทำจนสามารถทำปริญญานิพนธ์ฉบับนี้เสร็จสิ้น

และท้ายที่สุดขอกราบขอบพระคุณ บิดา มารดา ของคณะผู้จัดทำที่สนับสนุนให้โอกาสแก่ ผู้เขียนได้เล่าเรียนจนถึงวันนี้ ตลอดจนเพื่อนๆ พี่ๆ และน้องๆ ทุกคนที่ได้ให้คำปรึกษา แนะนำ และเป็นกำลังใจแก่คณะผู้จัดทำด้วยดีเสมอมา จนสามารถนำสิ่งต่างๆที่ได้รับมานั้นจัดทำปริญญานิพนธ์ ฉบับนี้ให้เสร็จสิ้นสมบูรณ์

คุณค่าและประโยชน์อันพึงมีจากปริญญานิพนธ์ฉบับนี้ คณะผู้จัดทำขอบแต่ผู้มีพระคุณ ทุกท่าน

คณะผู้จัดทำ

จรรูนันต์ ปัญญาสันติสุข

จุฑามาศ วงศ์รัชชัย

# สารบัญ

	หน้า
บทคัดย่อภาษาไทย.....	I
บทคัดย่อภาษาอังกฤษ.....	II
กิตติกรรมประกาศ.....	III
สารบัญ.....	IV
สารบัญรูป.....	VI
สารบัญตาราง.....	IX
คำย่อและสัญลักษณ์.....	X
<b>บทที่ 1 บทนำ.....</b>	<b>1</b>
1.1 วัตถุประสงค์ในการทำปริญญาณิพนธ์.....	1
1.2 ขอบเขตในการทำปริญญาณิพนธ์.....	3
1.3 รายละเอียดของปริญญาณิพนธ์และขอบเขตของการศึกษา.....	4
<b>บทที่ 2 มอเตอร์กระแสตรง.....</b>	<b>5</b>
2.1 สมการพลวัตของมอเตอร์กระแสตรง.....	5
2.2 การหาค่าพารามิเตอร์ของมอเตอร์กระแสตรง.....	6
2.3 ผลการทดลองระบบวงเปิด.....	8
<b>บทที่ 3 ตัวควบคุมแบบหนึ่งขั้นความอิสระ และแบบสองขั้นความอิสระ.....</b>	<b>9</b>
3.1 ตัวควบคุมแบบหนึ่งขั้นความอิสระ.....	9
3.2 ตัวควบคุมแบบสองขั้นความอิสระ.....	18
<b>บทที่ 4 วิธีแผนผังค่าสัมประสิทธิ์.....</b>	<b>19</b>
4.1 คุณสมบัติพื้นฐานของ CDM.....	19
4.2 โครงสร้าง CDM มาตรฐาน.....	20
4.3 พหุนามคุณลักษณะ.....	21
4.4 เงื่อนไขเสถียรภาพของ CDM.....	22
4.5 รูปแบบมาตรฐานของ CDM.....	23
4.6 เงื่อนไขการเลือกค่าครรชนีเสถียรภาพ.....	25
4.7 แผนผังค่าสัมประสิทธิ์.....	25

เอกสารนี้เป็นเอกสารที่สงวนไว้สำหรับการใช้งานเพื่อการศึกษาเท่านั้น ไม่อนุญาตให้นำไปใช้ประโยชน์ด้านการค้า  
ไม่ว่ากรณีใดๆ ทั้งสิ้น อีกทั้งห้ามมิให้ดัดแปลงเนื้อหา IV ต้องอ้างอิงถึงเจ้าของเอกสารทุกครั้งที่มีการนำไปใช้

## สารบัญ(ต่อ)

	หน้า
<b>บทที่ 5 การออกแบบค่าพารามิเตอร์ของตัวควบคุมแบบสองชั้นความอิสระ</b>	
<b>โดยวิธีแผนผังคำสั่งประสิทธิ์</b> .....	28
5.1 โครงสร้างระบบควบคุม.....	28
5.2 วิธีการออกแบบระบบควบคุมแบบสองชั้นความอิสระ.....	31
5.3 การออกแบบระบบควบคุมแบบสองชั้นความอิสระ สำหรับการควบคุมตำแหน่งของมอเตอร์กระแสตรง.....	31
<b>บทที่ 6 ผลการจำลองและผลการทดลอง</b> .....	35
6.1 ผลการจำลอง.....	35
6.1.1 ผลตอบสนองเมื่อแปรผันค่าดรรชนีเสถียรภาพ.....	35
6.1.2 ผลตอบสนองเมื่อแปรผันค่าจูนนิ่งแฟกเตอร์.....	39
6.2 ผลการทดลอง.....	41
6.2.1 ผลตอบสนองต่อสัญญาณอ้างอิง.....	41
6.2.2 การกำจัดสัญญาณรบกวนคงที่.....	43
<b>บทที่ 7 บทสรุป</b> .....	44
ภาคผนวก ก ผลกระทบของจูนนิ่งแฟกเตอร์ $\alpha$ .....	45
ภาคผนวก ข โปรแกรมภาษาซีที่ใช้ในการออกแบบตัวควบคุมสำหรับการทดลอง.....	49
ภาคผนวก ค ข้อมูลของมอเตอร์กระแสตรง.....	56
<b>เอกสารอ้างอิง</b> .....	57

## สารบัญรูป

รูปที่	หน้า
1.1 ระบบควบคุมแบบพีไอดี.....	1
1.2 ระบบควบคุมแบบไอฟีดี้.....	2
1.3 ระบบควบคุมแบบสองชั้นความอิสระ.....	2
2.1 โครงสร้างของมอเตอร์กระแสตรง.....	5
2.2 ผลตอบสนองต่อกระแสอินพุตควบคุมคงที่.....	7
2.3 ผลตอบสนองแบบวงเปิด.....	8
3.1 ระบบควบคุมตำแหน่งมอเตอร์กระแสตรงแบบพีไอดี.....	9
3.2 ระบบควบคุมตำแหน่งมอเตอร์กระแสตรงแบบไอฟีดี้.....	10
3.3 ผลตอบสนองต่อสัญญาณอ้างอิงของระบบควบคุมแบบพีไอดี.....	12
3.4 ผลตอบสนองต่อสัญญาณอ้างอิงของระบบควบคุมแบบไอฟีดี้.....	12
3.5 การกำจัดสัญญาณรบกวนของระบบควบคุมแบบพีไอดี.....	13
3.6 การกำจัดสัญญาณรบกวนของระบบควบคุมแบบไอฟีดี้.....	13
3.7(ก) ผลตอบสนองต่อสัญญาณอ้างอิงของระบบควบคุมแบบพีไอดีเมื่อปรับค่าพารามิเตอร์ เพื่อลดค่าฟุงเกิน.....	15
3.7(ข) การกำจัดสัญญาณรบกวนของระบบควบคุมแบบพีไอดีเมื่อปรับค่าพารามิเตอร์ เพื่อลดค่าฟุงเกิน.....	15
3.8(ก) ผลตอบสนองต่อสัญญาณอ้างอิงของระบบควบคุมแบบพีไอดีเมื่อปรับค่าพารามิเตอร์ เพื่อลดช่วงเวลาการกำจัดสัญญาณรบกวน.....	16
3.8(ข) การกำจัดสัญญาณรบกวนของระบบควบคุมแบบพีไอดีเมื่อปรับค่าพารามิเตอร์ เพื่อลดช่วงเวลาการกำจัดสัญญาณรบกวน.....	16
3.9(ก) ผลตอบสนองต่อสัญญาณอ้างอิงเมื่อปรับระบบควบคุมแบบไอฟีดี้ เพื่อลดช่วงเวลาไต่ขึ้นและช่วงเวลาการกำจัดสัญญาณรบกวน.....	17
3.9(ข) การกำจัดสัญญาณรบกวนของระบบควบคุมแบบไอฟีดี้เมื่อปรับค่าพารามิเตอร์ เพื่อลดช่วงเวลาไต่ขึ้นและช่วงเวลาการกำจัดสัญญาณรบกวน.....	17
3.10 ระบบควบคุมแบบสองชั้นความอิสระ.....	18

เอกสารนี้เป็นเอกสารที่สงวนไว้สำหรับการใช้งานเพื่อการศึกษาเท่านั้น ไม่อนุญาตให้นำไปใช้ประโยชน์ด้านการค้า  
ไม่ว่ากรณีใดๆ ทั้งสิ้น อีกทั้งห้ามมิให้ดัดแปลงเนื้อหา และต้องอ้างอิงถึงเจ้าของเอกสารทุกครั้งที่มีการนำไปใช้

## สารบัญญรูป(ต่อ)

รูปที่	หน้า
4.1 โครงสร้าง CDM มาตรฐานของระบบ SISO.....	20
4.2 ตำแหน่งโพลของระบบอันดับต่างๆ.....	24
4.3 แผนผังค่าสัมประสิทธิ์.....	26
4.4 ผลกระทบของการเปลี่ยนแปลงค่าครรรชนีเสถียรภาพ $\gamma_1$ และค่าคงตัวเวลาสมมูล $\tau$ .....	26
5.1 โครงสร้างระบบควบคุมแบบสองชั้นความอิสระ.....	28
5.2 ระบบควบคุมแบบสองชั้นความอิสระในรูปแบบของ CDM.....	29
5.3 โครงสร้างที่ปรับปรุงจากรูปที่ 5.2.....	29
5.4 ระบบควบคุมตำแหน่งมอเตอร์กระแสตรงแบบสองชั้นความอิสระ.....	32
6.1(ก) ผลตอบสนองต่อสัญญาณอ้างอิงเมื่อมีการแปรผันค่าครรรชนีเสถียรภาพ $\gamma_2$ .....	36
6.1(ข) การกำจัดสัญญาณรบกวนเมื่อมีการแปรผันค่าครรรชนีเสถียรภาพ $\gamma_2$ .....	36
6.2(ก) ผลตอบสนองต่อสัญญาณอ้างอิงเมื่อมีการแปรผันค่าครรรชนีเสถียรภาพ $\gamma_1$ .....	37
6.2(ข) การกำจัดสัญญาณรบกวนเมื่อมีการแปรผันค่าครรรชนีเสถียรภาพ $\gamma_1$ .....	37
6.3 ผลตอบสนองต่อสัญญาณอ้างอิงเมื่อมีสัญญาณรบกวน ณ เวลา 3 วินาที ที่ค่าครรรชนีเสถียรภาพ $\gamma_1 = 5$ และ $\gamma_2 = 4$ .....	38
6.4 ผลตอบสนองต่อสัญญาณอ้างอิงเมื่อทำการแปรผันค่าฐานนิ่งแฟกเตอร์ $\alpha$ .....	39
6.5 ผลตอบสนองต่อสัญญาณอ้างอิงในช่วงเวลาไม่ต่อเนื่อง เมื่อทำการแปรผันค่าฐานนิ่งแฟกเตอร์ $\alpha$ .....	40
6.6 ผลตอบสนองต่อสัญญาณอ้างอิง.....	42
6.7 สัญญาณควบคุม.....	42
6.8 ผลตอบสนองต่อสัญญาณอ้างอิงเมื่อมีสัญญาณรบกวน ณ เวลา 3 วินาที.....	43
6.9 สัญญาณควบคุม.....	43
ก.1 ผลตอบสนองต่อสัญญาณอ้างอิงเมื่อ $\gamma_1 = 2.5, \gamma_2 = 2$ และ $\tau = 0.4$ .....	45
ก.2 ผลตอบสนองต่อสัญญาณอ้างอิงเมื่อ $\gamma_1 = 2.5, \gamma_2 = 2$ และ $\tau = 4$ .....	46
ก.3 ผลตอบสนองต่อสัญญาณอ้างอิงเมื่อ $\gamma_1 = 5, \gamma_2 = 4$ และ $\tau = 0.4$ .....	46
ก.4 ผลตอบสนองต่อสัญญาณอ้างอิงเมื่อ $\gamma_1 = 5, \gamma_2 = 4$ และ $\tau = 4$ .....	47
ก.5 ผลตอบสนองต่อสัญญาณอ้างอิงเมื่อ $\gamma_1 = 7.5, \gamma_2 = 6$ และ $\tau = 4$ .....	47

เอกสารนี้เป็นเอกสารที่สงวนไว้สำหรับการใช้งานเพื่อการศึกษาเท่านั้น ไม่อนุญาตให้นำไปใช้ประโยชน์ด้านการค้า  
ไม่ว่ากรณีใดๆ ทั้งสิ้น อีกทั้งห้ามมิให้ดัดแปลงเนื้อหา vii ต้องอ้างอิงถึงเจ้าของเอกสารทุกครั้งที่มีการนำไปใช้

## สารบัญรูป(ต่อ)

รูปที่	หน้า
ค.1 มอเตอร์กระแสตรง.....	56
ค.2 โครงสร้างของมอเตอร์กระแสตรง.....	56



เอกสารนี้เป็นเอกสารที่สงวนไว้สำหรับการใช้งานเพื่อการศึกษาเท่านั้น ไม่อนุญาตให้นำไปใช้ประโยชน์ด้านการค้า  
ไม่ว่ากรณีใดๆ ทั้งสิ้น อีกทั้งห้ามมิให้ดัดแปลงเนื้อหา **viii** ต้องอ้างอิงถึงเจ้าของเอกสารทุกครั้งที่มีการนำไปใช้

## สารบัญตาราง

ตารางที่	หน้า
6.1 การแปรผันค่าครรชนีเสถียรภาพ $\mathcal{Y}_2$ .....	36
6.2 การแปรผันค่าครรชนีเสถียรภาพ $\mathcal{Y}_1$ .....	37
6.3 ผลการทดลองการตอบสนองต่อสัญญาณอ้างอิงของระบบ.....	41
ค.1 ข้อมูลของมอเตอร์กระแสตรง.....	56



เอกสารนี้เป็นเอกสารที่สงวนไว้สำหรับการใช้งานเพื่อการศึกษาเท่านั้น ไม่อนุญาตให้นำไปใช้ประโยชน์ด้านการค้า ไม่ว่าจะกรณีใดๆ ทั้งสิ้น อีกทั้งห้ามมิให้ดัดแปลงเนื้อหา **IX** ต้องอ้างอิงถึงเจ้าของเอกสารทุกครั้งที่มีการนำไปใช้

## คำย่อและสัญลักษณ์

$a_i$	หมายถึง	ค่าสัมประสิทธิ์ของสมการพหุนามคุณลักษณะ
$A_c(s)$	หมายถึง	ตัวส่วนพหุนามของตัวควบคุม
$A_p(s)$	หมายถึง	ตัวส่วนพหุนามของกระบวนการ
$A_p^*(s)$	หมายถึง	ตัวส่วนพหุนามของกระบวนการที่รวมส่วนป้อนกลับ
$b_i$	หมายถึง	ค่าสัมประสิทธิ์ของตัวเศษพหุนาม
$B$	หมายถึง	สัมประสิทธิ์ความหนืดของมอเตอร์และโหลด
$B_a(s)$	หมายถึง	พรีฟิลเตอร์ของระบบควบคุม
$B_c(s)$	หมายถึง	ตัวเศษพหุนามของตัวควบคุม
$B_{fb}(s)$	หมายถึง	สมการพหุนามแบบป้อนกลับ
$B_{ff}(s)$	หมายถึง	สมการพหุนามแบบป้อนไปหน้า
$B_p(s)$	หมายถึง	ตัวเศษพหุนามของกระบวนการ
$B_p^*(s)$	หมายถึง	ตัวเศษพหุนามของกระบวนการที่รวมส่วนป้อนกลับ
$B_n$	หมายถึง	สัมประสิทธิ์ความหนืดของมอเตอร์ที่ใช้ในการทดลองและ โหลด
$C(s)$	หมายถึง	เอาต์พุต
$D(s)$	หมายถึง	สัญญาณรบกวน
$G_c(s)$	หมายถึง	ฟังก์ชันถ่ายโอนของตัวควบคุม
$G_p(s)$	หมายถึง	ฟังก์ชันถ่ายโอนของกระบวนการ
$I_{in}$	หมายถึง	กระแสอินพุต
$J$	หมายถึง	โมเมนต์ความเฉื่อยของมอเตอร์และ โหลด
$K_d$	หมายถึง	อัตราขยายเดริเวทีฟ
$K_{df}$	หมายถึง	อัตราขยายเดริเวทีฟของส่วนป้อนกลับ
$K_{dr}$	หมายถึง	อัตราขยายเดริเวทีฟของส่วนป้อนไปหน้า
$K_f$	หมายถึง	ค่าคงที่แรงบิด
$K_{fn}$	หมายถึง	ค่าคงที่แรงบิดที่ใช้ในการทดลอง
$K_i$	หมายถึง	อัตราขยายอินทิกรัล
$K_p$	หมายถึง	อัตราขยายสัดส่วน
$K_{pf}$	หมายถึง	อัตราขยายสัดส่วนของส่วนป้อนกลับ
$K_{pr}$	หมายถึง	อัตราขยายสัดส่วนของส่วนป้อนไปหน้า
$P(s)$	หมายถึง	พหุนามคุณลักษณะ

เอกสารนี้เป็นเอกสารที่สงวนไว้สำหรับการใช้งานเพื่อการศึกษาเท่านั้น ไม่อนุญาตให้นำไปใช้ประโยชน์ด้านการค้า  
ไม่ว่ากรณีใดๆ ทั้งสิ้น อีกทั้งห้ามมิให้ดัดแปลงเนื้อหา  $X$  ะต้องอ้างอิงถึงเจ้าของเอกสารทุกครั้งที่มีการนำไปใช้

## คำย่อและสัญลักษณ์(ต่อ)

$P_0$	หมายถึง	เปอร์เซ็นต์ค่าพุ่งเกิน
$R(s)$	หมายถึง	อินพุต
$t$	หมายถึง	เวลา
$t_r$	หมายถึง	ช่วงเวลาที่ไต่ขึ้น
$t_s$	หมายถึง	ช่วงเวลาที่เข้าที่
$T$	หมายถึง	แรงบิดของมอเตอร์
$U(s)$	หมายถึง	สัญญาณเอาต์พุตของตัวควบคุม
$\theta$	หมายถึง	ระยะขจัดเชิงมุมของแกนมอเตอร์
$\theta_{ss}$	หมายถึง	ระยะขจัดเชิงมุมของแกนมอเตอร์ที่สภาวะอยู่ตัว
$\tau$	หมายถึง	ค่าคงตัวเวลาสมมูล
$\gamma_i$	หมายถึง	ค่าครรชนีเสถียรภาพ
$\gamma_i^*$	หมายถึง	ค่าจำกัดเสถียรภาพ
$\alpha$	หมายถึง	ค่าจูนนิ่งเฟกเตอร์
$\sigma$	หมายถึง	จำนวนจริง
$\omega$	หมายถึง	จำนวนจินตภาพ
$\zeta$	หมายถึง	ค่าอัตราการหน่วง

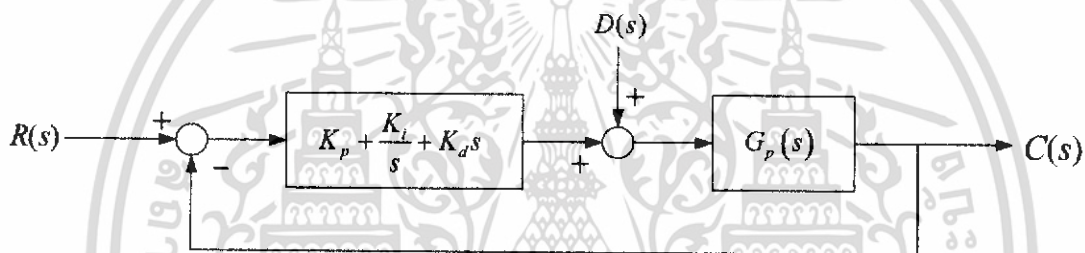
เอกสารนี้เป็นเอกสารที่สงวนไว้สำหรับการใช้งานเพื่อการศึกษาเท่านั้น ไม่อนุญาตให้นำไปใช้ประโยชน์ด้านการค้า  
ไม่ว่ากรณีใดๆ ทั้งสิ้น อีกทั้งห้ามมิให้ดัดแปลงเนื้อหา **XI** ต้องอ้างอิงถึงเจ้าของเอกสารทุกครั้งที่มีการนำไปใช้

# บทที่ 1

## บทนำ

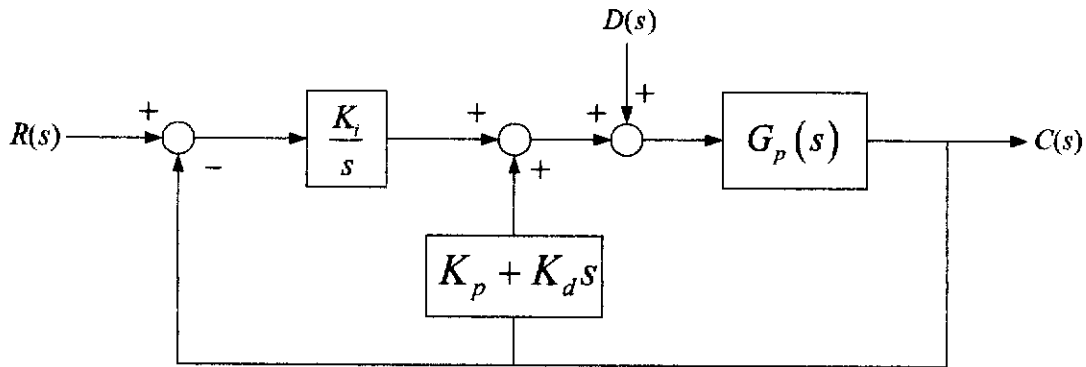
### 1.1 วัตถุประสงค์ในการทำปฏิกิริยา

ปัจจุบันมอเตอร์กระแสตรงเป็นมอเตอร์ที่ใช้กันอย่างแพร่หลายในอุตสาหกรรมต่างๆ ดังจะเห็นได้จากเครื่องจักรหลายๆ ชนิด อาทิเช่น เครื่องจักร CNC และ อื่นๆ ซึ่งมีมอเตอร์ประเภทนี้เป็นส่วนประกอบสำคัญ โดยในการทำงานของมอเตอร์กระแสตรงนั้นมีปัจจัยที่ต้องคำนึงถึงคือการตอบสนองสัญญาณอ้างอิงที่รวดเร็วและการกำจัดสัญญาณรบกวนที่ดี การควบคุมตำแหน่งของมอเตอร์กระแสตรงโดยทั่วไปนั้นมีการนำตัวควบคุมหลายชนิดมาใช้เช่น ตัวควบคุมแบบพีไอและตัวควบคุมแบบพีไอดี เป็นต้น



รูปที่ 1.1 ระบบควบคุมแบบพีไอดี

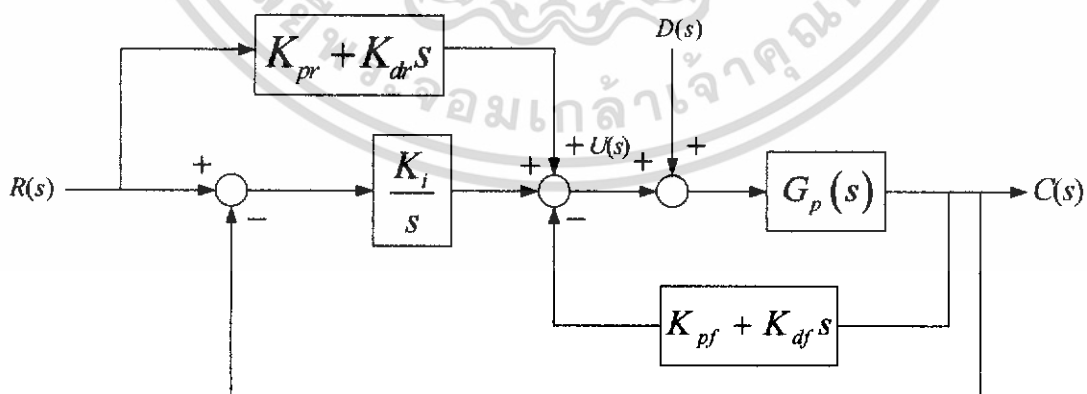
ระบบควบคุมแบบพีไอดี (PID Controller) ดังรูปที่ 1.1 มีโครงสร้างที่ไม่ซับซ้อนและง่ายต่อการปรับแต่งค่าพารามิเตอร์ เมื่อทำการทดลองพบว่าขณะที่ปรับแต่งค่าพารามิเตอร์เพื่อเพิ่มความสามารถด้านการตอบสนองต่อสัญญาณอ้างอิงหรือความสามารถในการกำจัดสัญญาณรบกวนอย่างใดอย่างหนึ่งแล้วจะส่งผลกระทบต่อความสามารถอีกด้านหนึ่ง โดยทั่วไปแล้ววิศวกรระบบควบคุมจะทำการปรับค่าพารามิเตอร์ของตัวควบคุมแบบพีไอดีให้มีความสามารถในการติดตามสัญญาณอ้างอิงได้อย่างรวดเร็ว แต่ก็ไม่สามารถทำให้การกำจัดสัญญาณรบกวนดีหรือช่วงเวลาการกำจัดสัญญาณรบกวนน้อยได้ในเวลาเดียวกัน ดังนั้นจึงมีการพัฒนาตัวควบคุมอีกชนิดขึ้นให้มีความสามารถในการกำจัดสัญญาณรบกวนที่ดีซึ่งมีโครงสร้างดังรูปที่ 1.2 โดยเรียกว่าตัวควบคุมแบบไอพีดี (I-PD Controller)



รูปที่ 1.2 ระบบควบคุมแบบไอพีดี

การปรับแต่งค่าพารามิเตอร์เพื่อเพิ่มคุณสมบัติของระบบไอพีดีด้านใดด้านหนึ่ง จะส่งผลกระทบต่อคุณสมบัติอีกด้านหนึ่งเช่นเดียวกับระบบควบคุมแบบพีไอดี เมื่อปรับแต่งค่าพารามิเตอร์แล้วระบบจะมีความสามารถในการกำจัดสัญญาณรบกวนที่ดีแต่ผลตอบสนองของระบบยังมีช่วงเวลาที่ไต่ขึ้นและช่วงเวลาที่เข้าที่มาก จะเห็นว่าระบบควบคุมแบบพีไอดีและระบบควบคุมแบบไอพีดีที่ปรับแต่งพารามิเตอร์แล้ว สามารถเพิ่มคุณสมบัติของระบบได้เพียงด้านเดียวระบบควบคุมเหล่านี้จะเรียกว่า “ระบบควบคุมแบบหนึ่งขั้นความอิสระ” (one-degree-of-freedom controller)

ดังนั้นเพื่อให้ระบบควบคุมสามารถปรับแต่งค่าพารามิเตอร์สำหรับคุณสมบัติทั้งสองให้อิสระต่อกันและไม่ส่งผลกระทบต่อคุณสมบัติอีกด้านหนึ่ง จึงมีการปรับปรุงระบบควบคุมจากหนึ่งขั้นความอิสระมาเป็น “ตัวควบคุมแบบสองขั้นความอิสระ” (two-degree-of-freedom controller) ดังแสดงในรูปที่ 1.3



รูปที่ 1.3 ระบบควบคุมแบบสองขั้นความอิสระ

เอกสารนี้เป็นเอกสารที่สงวนไว้สำหรับการใช้งานเพื่อการศึกษาเท่านั้น ไม่อนุญาตให้นำไปใช้ประโยชน์ด้านการค้าไม่ว่ากรณีใดๆ ทั้งสิ้น อีกทั้งห้ามมิให้ดัดแปลงเนื้อหา และต้องอ้างอิงถึงเจ้าของเอกสารทุกครั้งที่มีการนำไปใช้

ระบบควบคุมแบบสองชั้นความอิสระนี้สามารถทำการปรับแต่งค่าพารามิเตอร์ให้มีความสามารถในการตอบสนองสัญญาณอ้างอิงที่เร็ว และการกำจัดสัญญาณรบกวนที่ดีที่สุด ระบบควบคุมชนิดนี้ได้ปรับปรุงมาจากระบบควบคุมแบบโอเพนลูปโดยเพิ่มส่วนควบคุมแบบป้อนไปหน้า

(feedforward controller) เข้ามาจึงทำให้มีความสามารถในการตอบสนองสัญญาณอ้างอิงดีขึ้น

ปฏิญานิพนธ์นี้ขอแนะนำหลักการของตัวควบคุมแบบสองชั้นความอิสระ และวิธีการออกแบบค่าพารามิเตอร์โดยใช้วิธีแผนผังค่าสัมประสิทธิ์ (CDM) ตลอดจนถึงการเปรียบเทียบให้เห็นถึงข้อดีข้อเสียของตัวควบคุมแบบหนึ่งชั้นความอิสระแบบต่างๆ และอธิบายถึงคุณสมบัติของตัวควบคุมแบบสองชั้นความอิสระ

## 1.2 ขอบเขตในการทำปฏิญานิพนธ์

ในการศึกษาการควบคุมตำแหน่งของมอเตอร์เพื่อให้มีประสิทธิภาพที่ดีนั้น จะต้องศึกษาข้อมูลต่าง ๆ ดังต่อไปนี้

1. ศึกษาการหาสมการพลวัตของมอเตอร์กระแสตรง โดยประมาณให้เป็นแบบเชิงเส้น และค่าพารามิเตอร์หาได้จากการทดลองจริง
2. ศึกษาตัวควบคุมแบบต่างๆ ไปจนถึงตัวควบคุมแบบสองชั้นความอิสระเนื่องจากตัวควบคุมแบบสองชั้นความอิสระสามารถปรับให้ระบบมีความสามารถทั้งทางด้านความเร็วในการตอบสนองและด้านการกำจัดสัญญาณรบกวน
3. ศึกษาและทำความเข้าใจนิยามและความสัมพันธ์ทางคณิตศาสตร์ที่เกี่ยวกับวิธี CDM ซึ่งจะนำไปสู่การออกแบบตัวควบคุมด้วยวิธี CDM เพื่อควบคุมระบบให้มีเสถียรภาพและมีสมรรถนะตามที่ต้องการ
4. ศึกษาการใช้งานโปรแกรมสำเร็จรูปซึ่งจะช่วยในการคำนวณสมการทางคณิตศาสตร์ที่มีความซับซ้อน เช่น โปรแกรมแมตแล็บ (MATLAB) เป็นต้น รวมถึงการสร้างตัวควบคุมจากโปรแกรมภาษาซี (C Language) เพื่อนำไปควบคุมการทำงานของระบบจริงในห้องปฏิบัติการ

### 1.3 รายละเอียดของปฏิญญาพันธและขอบเขตของการศึกษา

ในปฏิญญาพันธฉบับนี้จะแบ่งออกเป็น 7 บท โดยมีรายละเอียดของแต่ละบทดังนี้  
 บทที่ 1 วัตถุประสงค์และขอบเขตในการทำปฏิญญาพันธ พร้อมทั้งรายละเอียดของงานวิจัยแต่ละบท

บทที่ 2 อธิบายการหาสมการพลวัตของมอเตอร์กระแสตรง และส่วนที่สองอธิบายการหาพารามิเตอร์ของมอเตอร์กระแสตรงจากการทดสอบแบบวงเปิด

บทที่ 3 เปรียบเทียบสมรรถนะของระบบควบคุมแบบหนึ่งขั้นความอิสระแบบต่างๆ และอธิบายคุณสมบัติของระบบควบคุมแบบสองขั้นความอิสระ

บทที่ 4 อธิบายทฤษฎีพื้นฐานของวิธี CDM ซึ่งประกอบด้วยบล็อกโคอะแกรมมาตรฐานของวิธี CDM โครงสร้างของระบบควบคุม ความสัมพันธ์ทางคณิตศาสตร์ที่เกี่ยวข้องกับวิธี CDM

บทที่ 5 อธิบายวิธีการออกแบบตัวควบคุมแบบสองขั้นความอิสระด้วยวิธี CDM และ

บทที่ 6 จำลองเปรียบเทียบอิทธิพลของตัวแปรพารามิเตอร์ต่างๆจากนั้นหาค่าพารามิเตอร์ที่เหมาะสมและทำการทดลองกับระบบจริง

บทที่ 7 บทสรุป

## บทที่ 2

### มอเตอร์กระแสตรง

ในการควบคุมตำแหน่งของมอเตอร์กระแสตรงจำเป็นจะต้องหาแบบจำลองพลวัตที่เป็นเชิงเส้นเนื่องจากได้เลือกใช้วิธีแผนผังค่าสัมประสิทธิ์ในการออกแบบตัวควบคุม ดังนั้นในบทนี้จะอธิบายการหาสมการพลวัตแบบเชิงเส้น รวมถึงการหาค่าพารามิเตอร์ของมอเตอร์กระแสตรง

#### 2.1 สมการพลวัตของมอเตอร์กระแสตรง

ในรูปที่ 2.1 มอเตอร์กระแสตรงรุ่น SS40E2-E จากบริษัท Sawamura Denki Kogyo ขับเคลื่อนด้วยแรงดันสูงสุดขนาด 24 โวลต์ โดยมีแรงบิด  $T$  ที่เกิดขึ้นแปรผันตามขนาดกระแส  $I_m$  ที่ป้อนเข้าและเขียนสมการได้ดังนี้



รูปที่ 2.1 โครงสร้างของมอเตอร์กระแสตรง

$$T = k_f I_m \quad (2.1)$$

เมื่อ  $k_f$  คือค่าคงที่แรงบิด ( $N-m/A$ )

จากกฎข้อที่สองของนิวตัน สมการการเคลื่อนที่ของมอเตอร์กระแสตรงคือ

$$J\ddot{\theta} = T - B\dot{\theta} \quad (2.2)$$

เมื่อ  $J$  คือ โมเมนต์ความเฉื่อยของมอเตอร์และโหลด ( $kg-m^2$ )

$B$  คือ สัมประสิทธิ์ความหนืดของมอเตอร์และโหลด ( $N-m/rad/sec$ )

$\theta$  คือ ระยะขจัดเชิงมุมของแกนมอเตอร์ (Radian)

เอกสารนี้เป็นเอกสารที่สงวนไว้สำหรับการใช้งานเพื่อการศึกษาเท่านั้น ไม่อนุญาตให้นำไปใช้ประโยชน์ด้านการค้าไม่ว่ากรณีใดๆ ทั้งสิ้น อีกทั้งห้ามมิให้ดัดแปลงเนื้อหา และต้องอ้างอิงถึงเจ้าของเอกสารทุกครั้งที่มีการนำไปใช้

ทำการแทนค่า  $T$  จากสมการที่ (2.1) ลงในสมการที่ (2.2) จะได้ว่า

$$J\ddot{\theta} + B\dot{\theta} = k_f I_{in} \quad (2.3)$$

ทำการแปลงลาปลาซสมการที่ (2.3) และให้ค่าเริ่มต้นเท่ากับศูนย์ จะได้ว่า

$$[Js^2 + Bs]\theta(s) = k_f I_{in}(s) \quad (2.4)$$

ดังนั้น ฟังก์ชันถ่ายโอนวงปิดของมอเตอร์กระแสตรง คือ

$$G_p(s) = \frac{\theta(s)}{I_{in}(s)} = \frac{k_{fn}}{s(s+B_n)} \quad (2.5)$$

เมื่อ  $k_{fn} = \frac{k_f}{J}$  และ  $B_n = \frac{B}{J}$

แบบจำลองนี้เป็นระบบอันดับสองแบบที่หนึ่ง (Second order, Type I)

## 2.2 การหาค่าพารามิเตอร์ของมอเตอร์กระแสตรง

เมื่อป้อนกระแสอินพุทควบคุม  $I_m$  เข้าสู่ระบบในรูปที่ 2.1 จะได้ตำแหน่งเอาต์พุทของระบบดังนี้

$$\theta(s) = \frac{k_{fn} I_c}{s(s+B_n)} \frac{1}{s} \quad (2.6)$$

เมื่อ  $I_c$  คือขนาดกระแสอินพุทควบคุมคงที่

ทำการแยกเศษส่วนย่อย  $\theta(s)$  ได้

$$\theta(s) = \frac{k_{fn} I_c}{B_n} \left[ \frac{1}{s^2} - T \frac{1}{s} + \frac{T^2}{Ts+1} \right] \quad (2.7)$$

โดยที่

$$T = \frac{1}{B_n} \quad (2.8)$$

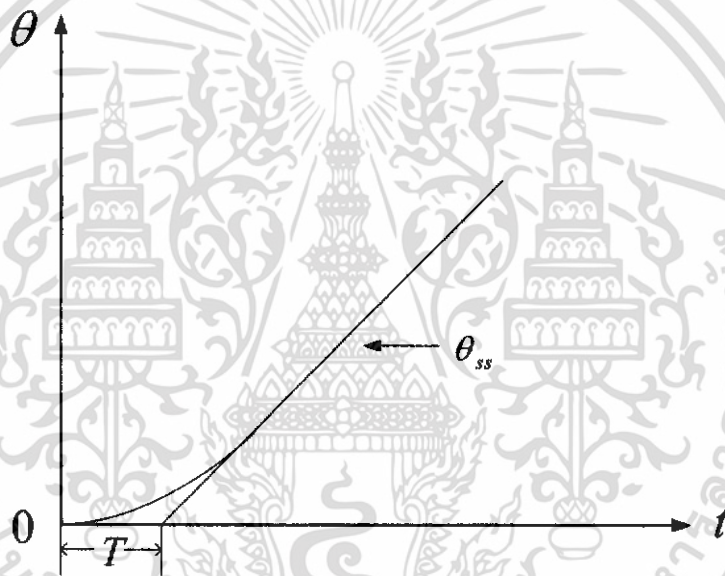
เอกสารนี้เป็นเอกสารที่สงวนไว้สำหรับการใช้งานเพื่อการศึกษาเท่านั้น ไม่อนุญาตให้นำไปใช้ประโยชน์ด้านการค้า ไม่ว่าจะกรณีใดๆ ทั้งสิ้น อีกทั้งห้ามมิให้ดัดแปลงเนื้อหา และต้องอ้างอิงถึงเจ้าของเอกสารทุกครั้งที่มีการนำไปใช้

เมื่อทำการแปลงลาปลาซผกผันสมการที่ (2.7) จะได้ว่า

$$\theta(t) = \frac{k_{fn} I_c}{B_n} [t - T + T e^{-t/T}] \quad \text{โดยที่ } t \geq 0 \quad (2.9)$$

ในรูปที่ 2.2 เป็นกราฟผลตอบแทนของสมการที่ (2.9) ต่อกระแสควบคุมคงที่  $I_c$  และ ขณะที่  $t$  เข้าสู่อนันต์ สามารถเขียนสมการผลตอบแทนในสภาวะคงที่  $\theta_{ss}$  ได้ดังนี้

$$\theta_{ss} = \frac{k_{fn} I_c}{B_n} (t - T) \quad (2.10)$$



รูปที่ 2.2 ผลตอบแทนต่อกระแสอินพุทควบคุมคงที่

จากสมการที่ (2.10) และรูปที่ 2.2 สามารถหาค่าพารามิเตอร์ต่าง ๆ ได้ด้วยขั้นตอนดังนี้

- (1) ลากเส้นตรง  $\theta_{ss}$  ไปยังแกน  $\theta = 0$  และตัดกับแกนเวลาที่  $t = T$  สามารถหาค่า  $T$  ได้ก่อน
- (2) ค่าโมเมนต์ความเฉื่อย  $J$  เป็นค่าออกแบบของมอเตอร์กระแสตรงที่ศึกษาจึงทราบได้จากคู่มือและจากสมการที่ (2.8) จะหาค่า  $B_n$  ได้
- (3) จากค่าความชันของผลตอบแทนที่สภาวะคงที่  $\theta_{ss}$  คือ  $\frac{k_{fn} I_c}{B_n}$  หาค่า  $k_{fn}$  ได้

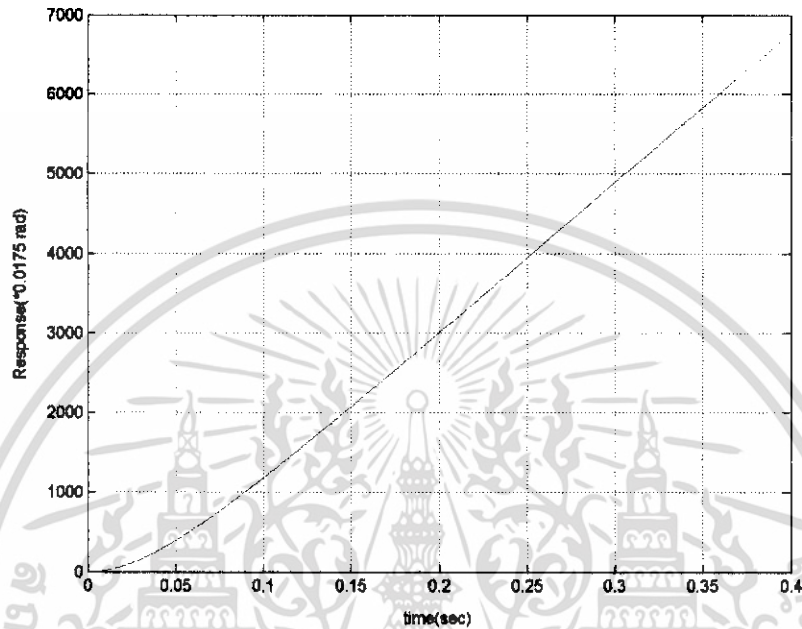
ดังนั้นค่าพารามิเตอร์ของฟังก์ชันถ่ายโอนของมอเตอร์กระแสตรงจึงสามารถหาได้จากผล

#### การทดลองจริง

เอกสารนี้เป็นเอกสารที่สงวนไว้สำหรับการใช้งานเพื่อการศึกษาเท่านั้น ไม่อนุญาตให้นำไปใช้ประโยชน์ด้านการค้าไม่ว่ากรณีใดๆ ทั้งสิ้น อีกทั้งห้ามมิให้ดัดแปลงเนื้อหา และต้องอ้างอิงถึงเจ้าของเอกสารทุกครั้งที่มีการนำไปใช้

## 2.3 ผลการทดลองระบบวงเปิด

ป้อนแรงดันขนาด +24 V และกระแสอินพุทควบคุมขนาด 7.5 แอมแปร์จากคอมพิวเตอร์ ให้แก่มอเตอร์กระแสตรง ได้ผลตอบสนองแบบวงเปิดของมอเตอร์ดังแสดงในรูปที่ 2.3



รูปที่ 2.3 ผลตอบสนองแบบวงเปิด

จากกราฟผลตอบสนองแบบวงเปิด ความชันของผลตอบสนองที่สภาวะอยู่ตัวคือ 326.30 เส้นตรงของผลตอบสนองที่สภาวะอยู่ตัวลากมาตัดกับแกนเวลาที่ 0.039 วินาทีจึงหาสมการพลวัตได้ดังนี้

$$G_p(s) = \frac{1115.554}{s(s + 25.641)} \quad (2.11)$$

เมื่อสัญลักษณ์อ้างอิงคือกระแสอินพุทควบคุมคงที่  $I_{in}$  และเอาท์พุทเป็นตำแหน่งของมอเตอร์  $\theta(s)$

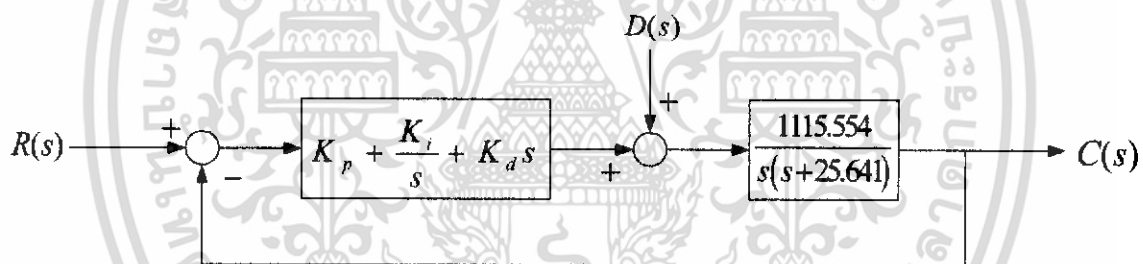
### บทที่ 3

## ตัวควบคุมแบบหนึ่งขั้นความอิสระและ ตัวควบคุมแบบสองขั้นความอิสระ

ในการควบคุมตำแหน่งของมอเตอร์นั้น ความสามารถในการตอบสนองสัญญาณอ้างอิงที่เร็วโดยปราศจากค่าพุ่งเกินและความสามารถในการกำจัดสัญญาณรบกวนที่ดีเป็นปัจจัยสำคัญในการเลือกตัวควบคุมที่เหมาะสม ในหัวข้อต่อไปนี้จะกล่าวถึงโครงสร้างและฟังก์ชันถ่ายโอนรวมทั้งเปรียบเทียบคุณสมบัติที่สำคัญของระบบควบคุมแบบต่าง ๆ

### 3.1 ตัวควบคุมแบบหนึ่งขั้นความอิสระ

ตัวควบคุมแบบหนึ่งขั้นความอิสระที่นิยมใช้ในการควบคุมตำแหน่งมอเตอร์กระแสตรงอย่าง เช่นตัวควบคุมแบบพีไอดีมีโครงสร้างระบบควบคุมดังแสดงในรูปที่ 3.1 และมีฟังก์ชันถ่ายโอนดังสมการที่ (3.1) และสมการที่ (3.2)



รูปที่ 3.1 ระบบควบคุมตำแหน่งมอเตอร์กระแสตรงแบบพีไอดี

<สัญญาณเอาต์พุตต่อสัญญาณอ้างอิง>

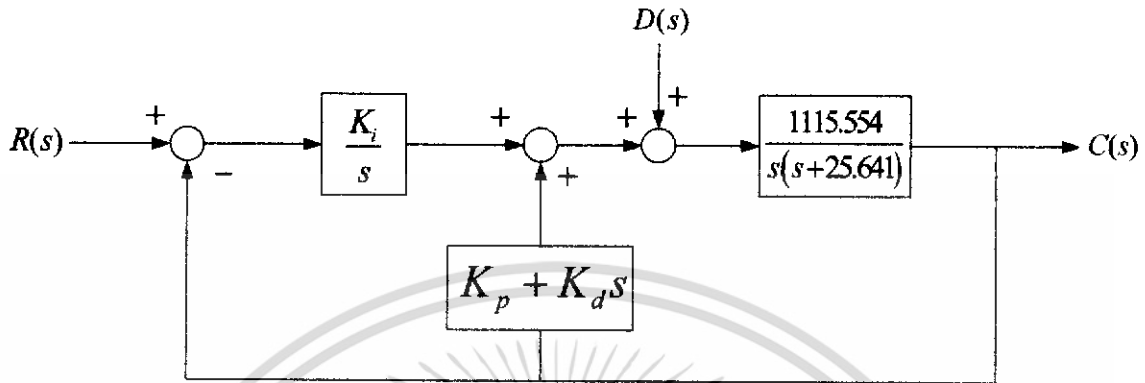
$$\frac{C(s)}{R(s)} = \frac{1115.554(K_d s^2 + K_p s + K_i)}{s^3 + (25.641 + 1115.554 K_d) s^2 + 1115.554 K_p s + 1115.554 K_i} \quad (3.1)$$

<สัญญาณเอาต์พุตต่อสัญญาณรบกวน>

$$\frac{C(s)}{D(s)} = \frac{1115.554 s}{s^3 + (25.641 + 1115.554 K_d) s^2 + 1115.554 K_p s + 1115.554 K_i} \quad (3.2)$$

เอกสารนี้เป็นเอกสารที่สงวนไว้สำหรับการใช้งานเพื่อการศึกษาเท่านั้น ไม่อนุญาตให้นำไปใช้ประโยชน์ด้านการค้าไม่ว่ากรณีใดๆ ทั้งสิ้น อีกทั้งห้ามมิให้ดัดแปลงเนื้อหา และต้องอ้างอิงถึงเจ้าของเอกสารทุกครั้งที่มีการนำไปใช้

ตัวควบคุมแบบหนึ่งขั้นความอิสระอีกแบบหนึ่งที่ได้รับการพัฒนาขึ้นมาคือตัวควบคุมแบบไอฟีดี มีโครงสร้างระบบควบคุมดังรูปที่ 3.2 และฟังก์ชันถ่ายโอนต่างๆ ดังสมการที่ (3.3) และสมการที่ (3.4)



รูปที่ 3.2 ระบบควบคุมตำแหน่งมอเตอร์กระแสตรงแบบไอฟีดี

<สัญญาณเอาต์พุตต่อสัญญาณอ้างอิง>

$$\frac{C(s)}{R(s)} = \frac{1115.554K_i}{s^3 + (25.641 + 1115.554K_d)s^2 + 1115.554K_p s + 1115.554K_i} \quad (3.3)$$

<สัญญาณเอาต์พุตต่อสัญญาณรบกวน>

$$\frac{C(s)}{D(s)} = \frac{1115.554s}{s^3 + (25.641 + 1115.554K_d)s^2 + 1115.554K_p s + 1115.554K_i} \quad (3.4)$$

คุณสมบัติของระบบควบคุมทั้งสองแบบแตกต่างกันเล็กน้อยจึงทำการจำลองเปรียบเทียบคุณสมบัติทั้งด้านการติดตามสัญญาณอ้างอิงและการกำจัดสัญญาณรบกวนของระบบควบคุมแบบหนึ่งขั้นความอิสระ เมื่อให้ค่าพารามิเตอร์เท่ากันและเมื่อปรับค่าพารามิเตอร์เพื่อเพิ่มคุณสมบัติของระบบควบคุมแล้ว

จากสมการที่ (3.1) และสมการที่ (3.3) ฟังก์ชันถ่ายโอนสัญญาณเอาต์พุตต่อสัญญาณอ้างอิงของระบบควบคุมแบบพีไอดีและระบบควบคุมแบบไอฟีดี จะเห็นว่าระบบควบคุมทั้งสองแบบมีสมการคุณลักษณะเหมือนกันคือ

$$P(s) = s^3 + (25.641 + 1115.554K_d)s^2 + 1115.554K_p s + 1115.554K_i \quad (3.5)$$

เพื่อการเปรียบเทียบกำหนดให้ช่วงเวลาเข้าที่  $t_s$  ที่ 1 วินาทีและเพื่อให้ระบบไม่มีค่าพุงเกินกำหนดให้ค่าอัตราการหน่วง  $\zeta$  มีค่าเท่ากับ 1 จากนั้นนำไปแทนค่าในสมการที่ (3.6)

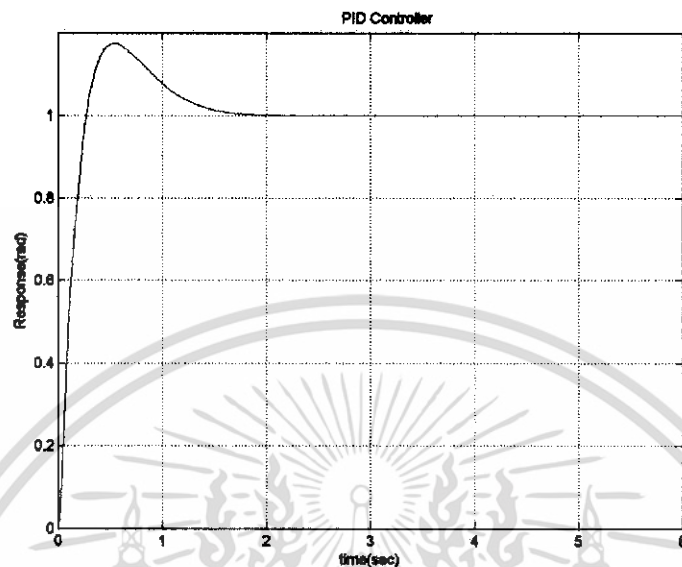
$$\text{จาก } t_s = \frac{4}{\zeta\omega_n} \quad (3.6)$$

$$\text{จึงได้ } \omega_n = 4 \quad (3.7)$$

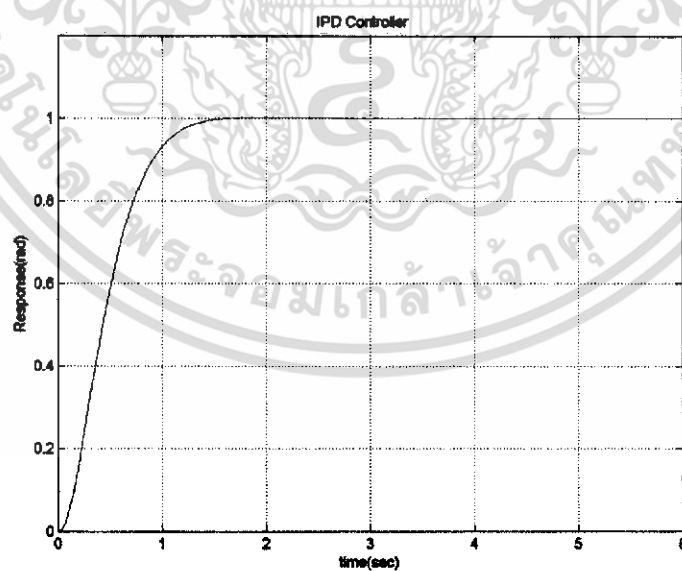
จากสมการที่ (3.7) จะได้ว่าระบบมีโพลเด่น  $s$  วงปิดสองตัวอยู่ที่  $-4$  จึงเลือกโพลอีกตัวให้มีค่าเป็น 10 เท่าของโพลเด่น  $s$  คือที่  $-40$  และสามารถเขียนสมการคุณลักษณะได้คือ

$$\begin{aligned} P(s) &= (s+40)(s^2+8s+16) \\ &= s^3 + 48s^2 + 316s + 640 \end{aligned} \quad (3.8)$$

เมื่อนำสมการที่ (3.5) เท่ากับสมการที่ (3.8) จะได้ค่าพารามิเตอร์  $K_p$ ,  $K_d$  และ  $K$ , มีค่าเท่ากับ 0.28, 0.02 และ 0.5749 ตามลำดับ จากนั้นนำค่าพารามิเตอร์แทนลงในฟังก์ชันถ่ายโอนสัญญาณเอาต์พุตต่อสัญญาณอ้างอิง สมการที่ (3.1) และสมการที่ (3.3) เพื่อจำลองในโปรแกรม Simulink ได้ผลตอบสนองต่อสัญญาณอ้างอิงดังรูปที่ 3.3 และรูปที่ 3.4 ตามลำดับ และเมื่อนำค่าพารามิเตอร์แทนลงในฟังก์ชันถ่ายโอนสัญญาณเอาต์พุตต่อสัญญาณรบกวนสมการที่ (3.2) และสมการที่ (3.4) เพื่อดูการกำจัดสัญญาณรบกวนดังแสดงในรูปที่ 3.5 และรูปที่ 3.6

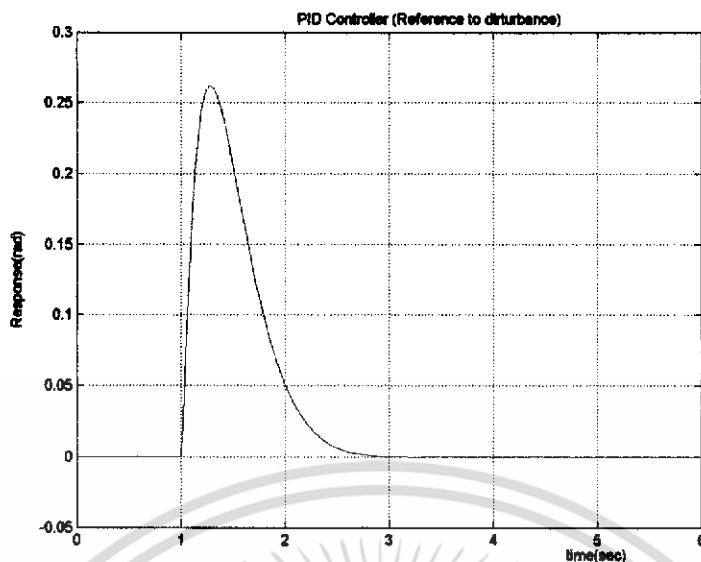


รูปที่ 3.3 ผลตอบสนองต่อสัญญาณอ้างอิงของระบบควบคุมแบบพีไอดี

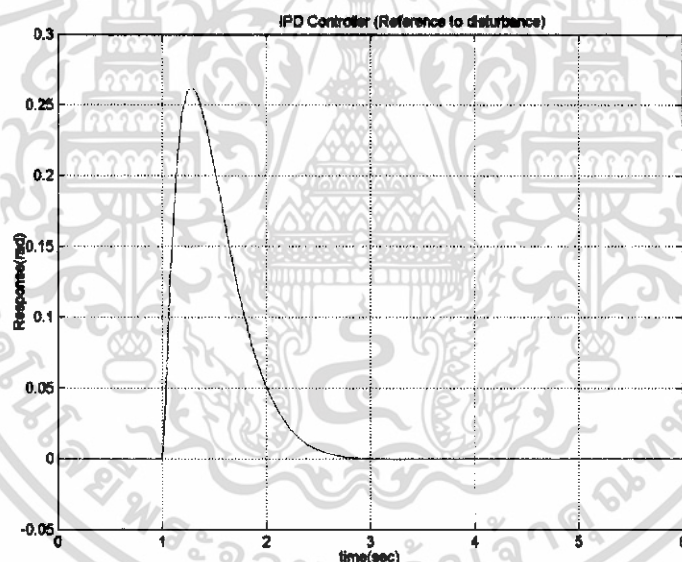


รูปที่ 3.4 ผลตอบสนองต่อสัญญาณอ้างอิงของระบบควบคุมแบบไอพีดี

เอกสารนี้เป็นเอกสารที่สงวนไว้สำหรับการใช้งานเพื่อการศึกษาเท่านั้น ไม่อนุญาตให้นำไปใช้ประโยชน์ด้านการค้า ไม่ว่าจะกรณีใดๆ ทั้งสิ้น อีกทั้งห้ามมิให้ดัดแปลงเนื้อหา และต้องอ้างอิงถึงเจ้าของเอกสารทุกครั้งที่มีการนำไปใช้



รูปที่ 3.5 การกำจัดสัญญาณรบกวนของระบบควบคุมแบบพีไอดี



รูปที่ 3.6 การกำจัดสัญญาณรบกวนของระบบควบคุมแบบไอพีดี

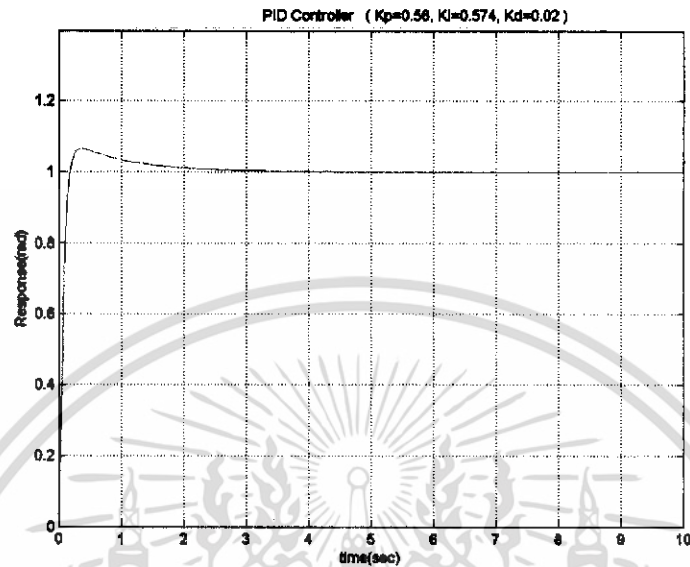
จากรูปที่ 3.3 และ 3.4 ระบบควบคุมแบบพีไอดีมีช่วงเวลาดำเนิน (rise time) 0.2 วินาที และค่าพุ่งเกิน 17.8% ในขณะที่ระบบควบคุมแบบไอพีดีมีช่วงเวลาดำเนิน 0.5 วินาทีและไม่มีค่าพุ่งเกินจากรูปที่ 3.5 และรูปที่ 3.6 จะเห็นว่าความสามารถในการกำจัดสัญญาณรบกวนของระบบควบคุมทั้งสองชนิดนั้นใช้เวลาในการกำจัดสัญญาณรบกวนเท่ากันที่เวลาประมาณ 1.7 วินาที จะเห็นว่าระบบควบคุมทั้งสองชนิดมีความสามารถในการกำจัดสัญญาณรบกวนเท่ากัน แต่ผลตอบสนองต่อ

เอกสารนี้เป็นเอกสารที่สงวนไว้สำหรับการใช้งานเพื่อการศึกษาเท่านั้น ไม่อนุญาตให้นำไปใช้ประโยชน์ด้านการค้าไม่ว่ากรณีใดๆ ทั้งสิ้น อีกทั้งห้ามมิให้ดัดแปลงเนื้อหา และต้องอ้างอิงถึงเจ้าของเอกสารทุกครั้งที่มีการนำไปใช้

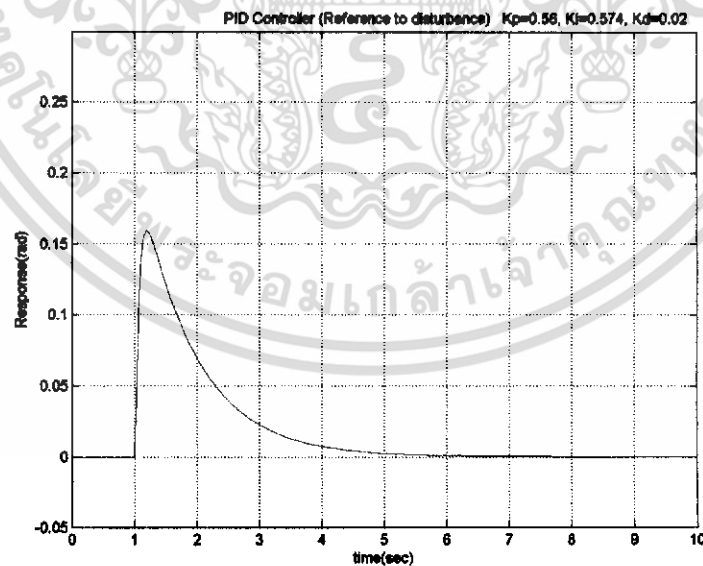
สัญญาณอ้างอิงของระบบควบคุมแบบพีไอคิมีช่วงเวลาที่ไต่ขึ้นน้อยแต่มีค่าพุ่งเกิน โดยผลตอบสนองของระบบควบคุมแบบไอพีดีไม่มีค่าพุ่งเกินแต่ยังมีช่วงไต่ขึ้นมาก ดังนั้นจึงทำการทดลองโดยการจำลองผลปรับค่าพารามิเตอร์เพื่อปรับปรุงคุณสมบัติของระบบควบคุมทั้งสองชนิดให้ดีขึ้น

ในขั้นแรกปรับค่าพารามิเตอร์ของระบบควบคุมแบบพีไอดีเพื่อลดค่าพุ่งเกิน จะเห็นว่าช่วงเวลาในการกำจัดสัญญาณรบกวนและช่วงเวลาเข้าที่ จะมากขึ้นดังแสดงในรูปที่ 3.7 และเมื่อปรับค่าพารามิเตอร์เพื่อลดค่าพุ่งเกินผลตอบสนองต่อสัญญาณอ้างอิงมีค่าสูงขึ้นเล็กน้อยดังแสดงในรูปที่ 3.8 ซึ่งค่าพุ่งเกินเป็นค่าที่ไม่สามารถยอมรับได้ในการควบคุมตำแหน่งมอเตอร์กระแสตรง จากนั้นปรับค่าพารามิเตอร์ของระบบควบคุมแบบไอพีดีเพื่อลดช่วงเวลาที่ไต่ขึ้น การปรับจะส่งผลให้การกำจัดสัญญาณรบกวนจะเปลี่ยนแปลงและเมื่อปรับค่าพารามิเตอร์ให้ช่วงเวลากำจัดสัญญาณรบกวนเร็วขึ้นผลตอบสนองต่อสัญญาณอ้างอิงจะเปลี่ยนแปลงเช่นเดียวกันดังแสดงในรูปที่ 3.9





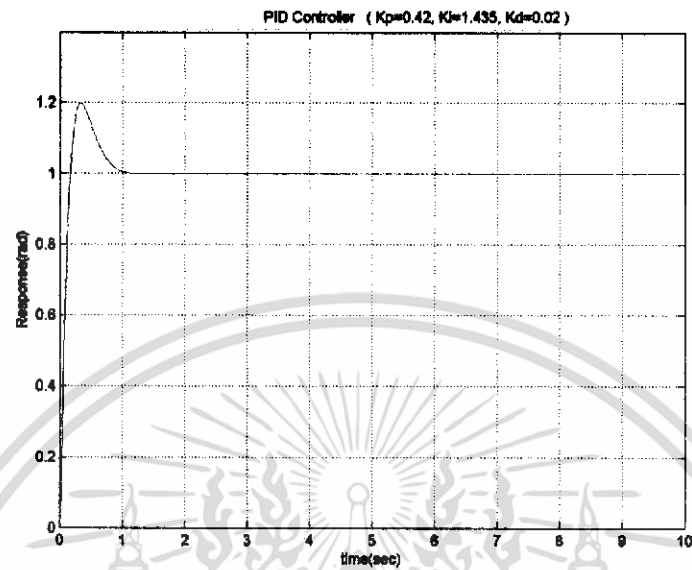
(ก) ผลตอบสนองต่อสัญญาณอ้างอิง



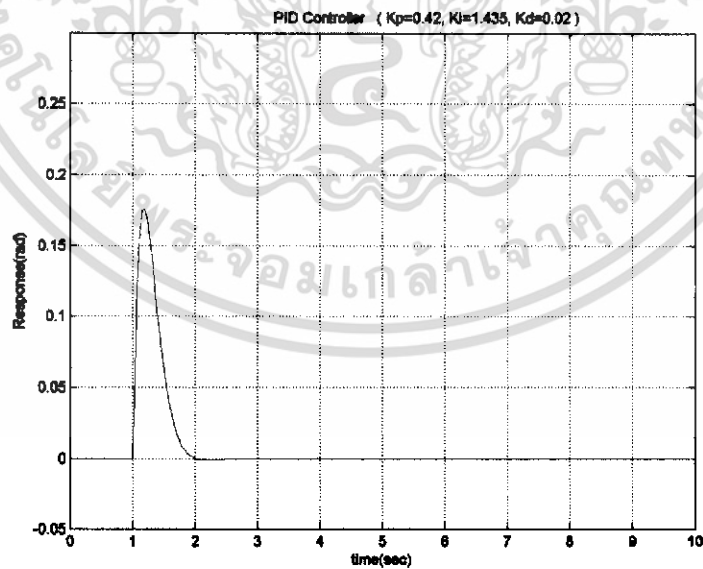
(ข) การกำจัดสัญญาณรบกวน

### รูปที่ 3.7 ระบบควบคุมแบบพีไอดีเมื่อปรับค่าพารามิเตอร์เพื่อลดค่าพุงเกิน

เอกสารนี้เป็นเอกสารที่สงวนไว้สำหรับการใช้งานเพื่อการศึกษาเท่านั้น ไม่อนุญาตให้นำไปใช้ประโยชน์ด้านการค้า ไม่ว่าจะกรณีใดๆ ทั้งสิ้น อีกทั้งห้ามมิให้ดัดแปลงเนื้อหา และต้องอ้างอิงถึงเจ้าของเอกสารทุกครั้งที่มีการนำไปใช้

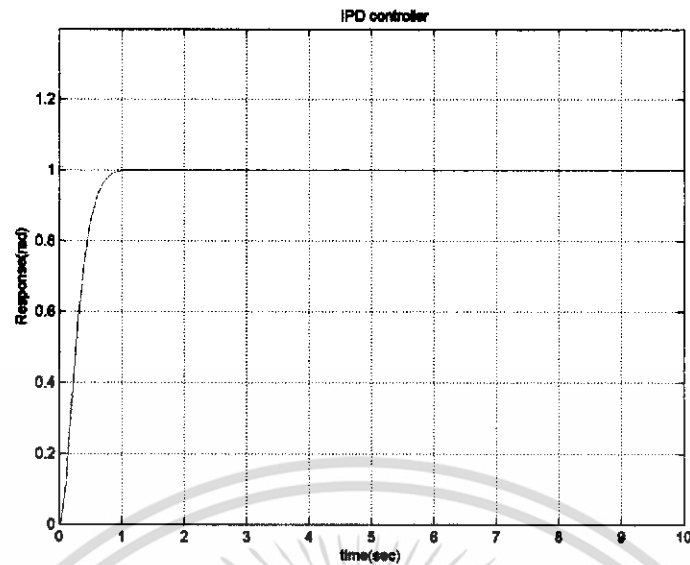


(ก) ผลตอบสนองต่อสัญญาณข้างอิง

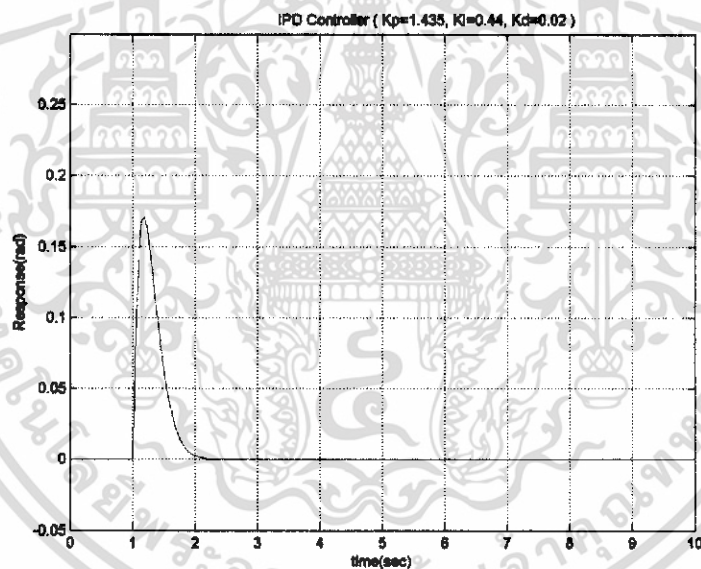


(ข) การกำจัดสัญญาณรบกวน

**รูปที่ 3.8** ระบบควบคุมแบบพีไอดีเมื่อปรับค่าพารามิเตอร์เพื่อลดช่วงเวลากำจัดสัญญาณรบกวน เอกสารนี้เป็นเอกสารที่สงวนไว้สำหรับการใช้งานเพื่อการศึกษาเท่านั้น ไม่อนุญาตให้นำไปใช้ประโยชน์ด้านการค้า ไม่ว่าจะกรณีใดๆ ทั้งสิ้น อีกทั้งห้ามมิให้ดัดแปลงเนื้อหา และต้องอ้างอิงถึงเจ้าของเอกสารทุกครั้งที่มีการนำไปใช้



(ก) ผลตอบสนองต่อสัญญาณอ้างอิง



(ข) การกำจัดสัญญาณรบกวน

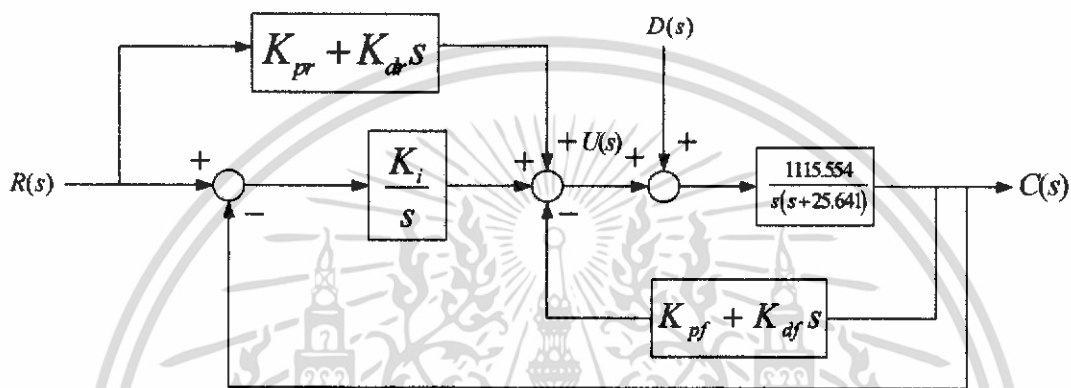
รูปที่ 3.9 ระบบควบคุมแบบไฮฟีดีเมื่อปรับค่าพารามิเตอร์เพื่อลดช่วงเวลาที่ไคขึ้นและลดช่วงเวลากำจัดสัญญาณรบกวน

จากการจำลองที่ผ่านมา แสดงให้เห็นว่าเมื่อปรับค่าพารามิเตอร์เพื่อเพิ่มความสามารถด้านใดด้านหนึ่งของระบบควบคุมแบบพีไอดีและระบบควบคุมแบบไฮฟีดีแล้ว จะส่งผลกระทบต่อคุณสมบัติอีกอย่างหนึ่งเสมอ จึงเรียกระบบควบคุมทั้งสองชนิดนี้ว่า ตัวควบคุมแบบหนึ่งขั้นความอิสระ (one-degree-of-freedom controller)

เอกสารนี้เป็นเอกสารที่สงวนลิขสิทธิ์ไว้เพื่อการศึกษเท่านั้น ไม่อนุญาตให้นำไปใช้ประโยชน์ด้านการค้าไม่ว่ากรณีใดๆ ทั้งสิ้น อีกทั้งห้ามมิให้ดัดแปลงเนื้อหา และต้องอ้างอิงถึงเจ้าของเอกสารทุกครั้งที่มีการนำไปใช้

### 3.2 ตัวควบคุมแบบสองชั้นความอิสระ

ตัวควบคุมแบบสองชั้นความอิสระได้รับการพัฒนาโดยการเพิ่มส่วนป้อนไปหน้า (feedforward controller) ให้กับตัวควบคุมแบบโอพีดีที่รูปที่ 3.10 เพื่อให้ระบบควบคุมสามารถปรับค่าพารามิเตอร์ให้มีผลตอบสนองรวดเร็วและการกำจัดสัญญาณรบกวนที่ดีได้โดยไม่ส่งผลกระทบต่อคุณสมบัติอีกด้านหนึ่งนั้น เนื่องจากตัวควบคุมแบบโอพีดีนั้นมีความสามารถในการกำจัดสัญญาณรบกวนที่ดีและส่วนป้อนไปหน้าจะส่งผลกระทบต่อความสามารถในการติดตามสัญญาณอ้างอิงเร็วขึ้น ทำให้สามารถปรับแต่งค่าพารามิเตอร์ให้ระบบมีคุณสมบัติที่ต้องการได้



รูปที่ 3.10 ระบบควบคุมแบบสองชั้นความอิสระ

<สัญญาณเอาต์พุตต่อสัญญาณอ้างอิง>

$$\frac{C(s)}{R(s)} = \frac{1115.554(K_{dr}s^2 + K_{pr}s + K_i)}{s^3 + (25.641 + 1115.554K_{df})s^2 + 1115.554K_{pf}s + 1115.554K_i} \quad (3.9)$$

<สัญญาณเอาต์พุตต่อสัญญาณรบกวน>

$$\frac{D(s)}{R(s)} = \frac{1115.554s}{s^3 + (25.641 + 1115.554K_{df})s^2 + 1115.554K_{pf}s + 1115.554K_i} \quad (3.10)$$

จากสมการที่ (3.9) และสมการที่ (3.10) จะเห็นว่าค่าพารามิเตอร์  $K_{df}$ ,  $K_{pf}$  และ  $K_i$  ส่งผลต่อการกำจัดสัญญาณรบกวน ในขณะที่ค่าพารามิเตอร์  $K_{dr}$  และ  $K_{pr}$  ส่งผลต่อการตอบสนองต่อสัญญาณอ้างอิงดังนั้นจึงสามารถปรับคุณสมบัติแต่ละด้านได้โดยไม่กระทบกัน

## บทที่ 4

# วิธีแผนผังค่าสัมประสิทธิ์

ปัญหาทั่วไปในการออกแบบระบบควบคุมคือการเลือกใช้ตัวควบคุมให้เหมาะสมกับระบบควบคุมเพื่อให้ระบบนั้นมีเสถียรภาพและสมรรถนะตามต้องการ ทฤษฎีการออกแบบตัวควบคุมจะแบ่งออกเป็น 3 ทฤษฎีหลักๆ คือ ทฤษฎีการควบคุมตามแบบดั้งเดิม (classical control theory) ทฤษฎีการควบคุมแบบสมัยใหม่ (modern control theory) และทฤษฎีควบคุมโดยอาศัยพหุนาม (polynomial) หรือ บางครั้งเรียกว่าทฤษฎีพีชคณิต ตัวอย่างวิธีการควบคุมตามแบบดั้งเดิม เช่น วิธีการตอบสนองทางความถี่ (frequency response method) และวิธีทางเดินของราก (root-locus method) ซึ่งจะใช้กับระบบที่อยู่ในรูปของฟังก์ชันถ่ายโอน ฟังก์ชันถ่ายโอนเป็นเครื่องมือที่ง่ายในการออกแบบระบบควบคุม แต่จะเกิดค่าผิดพลาดขึ้นเมื่อโพลและซีโรของระบบเกิดการหักล้างกัน ซึ่งจะทำให้ไม่สามารถควบคุม (uncontrollable) และไม่สามารถสังเกต (unobservable) พฤติกรรมของระบบได้สำหรับตัวอย่างทฤษฎีการควบคุมแบบสมัยใหม่ เช่น วิธีการวางโพล (pole-placement) และวิธีการควบคุมที่เหมาะสมที่สุด (optimal control) ซึ่งจะใช้กับระบบที่อยู่ในรูปของปริภูมิสแตต (state-space) รูปแบบปริภูมิสแตตนี้ จะมีความแม่นยำและเหมาะสมในการคำนวณด้วยเครื่องคำนวณ วิธีแผนผังค่าสัมประสิทธิ์หรือ CDM เป็นวิธีการออกแบบระบบควบคุมแบบพีชคณิต ซึ่งระบบจะถูกแทนด้วยพหุนาม โดยพิจารณาตัวเลขและตัวส่วนของฟังก์ชันถ่ายโอนแยกออกจากกัน ดังนั้น จะได้ผลตอบสนองที่ดีกว่าเมื่อโพลและซีโรเกิดการหักล้างกัน

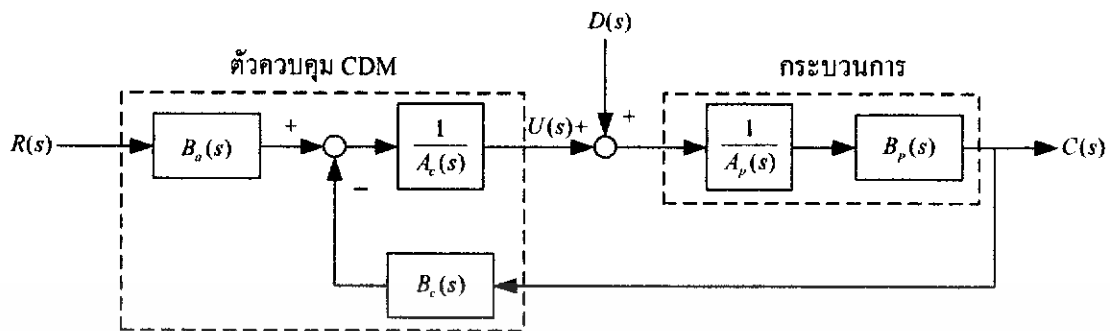
### 4.1 คุณสมบัติพื้นฐานของวิธี CDM

ศาสตราจารย์ชุนจิ มานาเบะ (Shunji Manabe) ได้นำเสนอการออกแบบตัวควบคุมด้วยวิธี CDM ด้วยการใช้แผนผังค่าสัมประสิทธิ์ (coefficient diagram) เป็นเครื่องมือเพื่อแสดงถึงประสิทธิภาพและสมรรถนะของระบบควบคุม การออกแบบตัวควบคุมด้วยวิธี CDM จะใช้หลักการทางพีชคณิตโดยที่

- (1) ระบบจะถูกแทนด้วยสมการพหุนาม
- (2) สามารถออกแบบสมการพหุนามคุณลักษณะและตัวควบคุมได้พร้อมกัน
- (3) มีการนำแผนผังค่าสัมประสิทธิ์มาใช้ในการออกแบบตัวควบคุม
- (4) ทฤษฎีเสถียรภาพของ CDM จะอยู่บนเงื่อนไขความพอเพียงของลีพาตอฟ (Lipatov's sufficient condition for stability)
- (5) ครรชนีเสถียรภาพมาตรฐานของ CDM จะถูกตัดแปลงจากรูปแบบมาตรฐานของ Kessler

เอกสารนี้เป็นเอกสารที่สงวนไว้สำหรับการใช้งานเพื่อการศึกษาเท่านั้น ไม่อนุญาตให้นำไปใช้ประโยชน์ด้านการค้า ไม่ว่าจะกรณีใดๆ ทั้งสิ้น อีกทั้งห้ามมิให้ดัดแปลงเนื้อหา และต้องอ้างอิงถึงเจ้าของเอกสารทุกครั้งที่มีการนำไปใช้

## 4.2 โครงสร้าง CDM มาตรฐาน



รูปที่ 4.1 โครงสร้าง CDM มาตรฐานของระบบ SISO

โครงสร้าง CDM มาตรฐานของระบบ SISO (Single-Input-Single-Output) แสดงได้ ดังรูปที่ 4.1 ซึ่งประกอบด้วยตัวควบคุมและกระบวนการ โดยที่  $A_p(s)$  และ  $B_p(s)$  คือพหุนามของกระบวนการและมีรูปแบบแสดงในสมการที่ (4.1) และ (4.2) ดังนี้

$$A_p(s) = p_k s^k + p_{k-1} s^{k-1} + \dots + p_0 \quad (4.1)$$

$$B_p(s) = q_m s^m + q_{m-1} s^{m-1} + \dots + q_0 \quad (4.2)$$

และ  $A_c(s)$ ,  $B_c(s)$  และ  $B_a(s)$  ซึ่งก็คือพหุนามของตัวควบคุม CDM จะมีรูปแบบดังนี้

$$A_c(s) = l_\lambda s^\lambda + l_{\lambda-1} s^{\lambda-1} + \dots + l_0 \quad (4.3)$$

$$B_c(s) = k_\lambda s^\lambda + k_{\lambda-1} s^{\lambda-1} + \dots + k_0 \quad (4.4)$$

$$B_a(s) = p_\lambda s^\lambda + p_{\lambda-1} s^{\lambda-1} + \dots + p_0 \quad (4.5)$$

โดยที่  $\lambda < k$  และ  $m < k$  สำหรับ  $B_a(s)$  นั้นเป็นพรีฟิลเตอร์ของระบบควบคุม ซึ่งจะทำให้ผลตอบสนองของระบบควบคุมไม่มีค่าผิดพลาดที่สถานะอยู่ตัว (steady-state error) ถ้า  $B_a(s)$  มีค่าเท่ากับ  $k_0$  จะทำให้ผลตอบสนองของระบบไม่มีค่าพุ่งเกิน (overshoot) แต่ช่วงเวลาไต่ขึ้น (rise time) จะมาก และถ้า  $B_a(s)$  มีค่าเท่ากับตัวเศษของฟังก์ชันถ่ายโอนของตัวควบคุม  $B_c(s)$  จะทำให้ผลตอบสนองมีค่าพุ่งเกิน และช่วงเวลาไต่ขึ้นจะน้อยลง เนื่องจากระบบควบคุมนี้มีฟังก์ชันถ่ายโอนของตัวควบคุม 2 ตัว ดังนั้น จึงถูกเรียกว่าระบบควบคุมแบบสองขั้นความอิสระ (two-degree-of-freedom: 2DOF) โดยโครงสร้างของระบบควบคุมแบบ 2DOF นั้น เมื่อนำมาใช้ในการควบคุม

เอกสารนี้เป็นเอกสารที่สงวนไว้สำหรับการใช้งานเพื่อการศึกษาเท่านั้น ไม่อนุญาตให้นำไปใช้ประโยชน์ด้านการค้า ไม่ว่าจะกรณีใดๆ ทั้งสิ้น อีกทั้งห้ามมิให้ดัดแปลงเนื้อหา และต้องอ้างอิงถึงเจ้าของเอกสารทุกครั้งที่มีการนำไปใช้

กระบวนการต่างๆ จะทำให้ระบบควบคุมสามารถติดตามสัญญาณอ้างอิงที่กำหนดและสามารถกำจัดผลกระทบจากสิ่งรบกวนที่เข้ามาในระบบได้

### 4.3 พหุนามคุณลักษณะ

พหุนามคุณลักษณะจากโครงสร้างของ CDM มาตรฐานดังรูปที่ 4.1 โดยไม่มีพีรีฟิเตอร์ แสดงได้ดังสมการที่ (4.6)

$$\begin{aligned} P(s) &= A_c(s)A_p(s) + B_c(s)B_p(s) \\ &= a_n s^n + a_{n-1} s^{n-1} + \dots + a_1 s + a_0 \\ &= \sum_{i=0}^n a_i s^i \end{aligned} \quad (4.6)$$

โดยที่  $a_0, a_1, \dots, a_n$  คือสัมประสิทธิ์ของพหุนามคุณลักษณะ ซึ่งประกอบด้วยพารามิเตอร์ของกระบวนการที่รู้ค่าและพารามิเตอร์ของตัวควบคุมที่ยังไม่รู้ค่าและพารามิเตอร์ของตัวควบคุมนี้จะถูกออกแบบด้วยวิธี CDM ซึ่งจะได้อธิบายต่อไป

วิธีการออกแบบตัวควบคุมด้วย CDM จะเป็นการออกแบบจากระบบควบคุมทั้งระบบ โดยพารามิเตอร์ที่ใช้ในการออกแบบตัวควบคุมจะประกอบด้วยค่าครรชนีเสถียรภาพ  $\gamma_i$  ซึ่งจะเป็นตัวกำหนดเสถียรภาพของระบบ และค่าคงตัวเวลาสมมูล  $\tau$  ซึ่งจะเป็นตัวกำหนดความเร็วของผลตอบสนองของระบบค่าพารามิเตอร์เหล่านี้มีความสัมพันธ์โดยตรงกับพหุนามคุณลักษณะ ส่วนค่าจำกัดเสถียรภาพ  $\gamma_i^*$  จะเป็นตัวบอกความคงทนต่อการเปลี่ยนแปลงพารามิเตอร์ของระบบควบคุม ซึ่งมีความสัมพันธ์กับค่าครรชนีเสถียรภาพ  $\gamma_i$  โดยความสัมพันธ์ทางคณิตศาสตร์ของค่าครรชนีเสถียรภาพ  $\gamma_i$  ค่าคงตัวเวลาสมมูล  $\tau$  และค่าจำกัดเสถียรภาพ  $\gamma_i^*$  แสดงได้ดังสมการที่ (4.7) (4.8) และ (4.9) ตามลำดับดังนี้

$$\gamma_i = \frac{a_i^2}{a_{i+1}a_{i-1}} \quad (4.7)$$

$$\tau = \frac{a_1}{a_0} \quad (4.8)$$

$$\gamma_i^* = \frac{1}{\gamma_{i+1}} + \frac{1}{\gamma_{i-1}}; \gamma_0, \gamma_n = \infty \quad (4.9)$$

เอกสารนี้เป็นเอกสารที่สงวนไว้สำหรับการใช้งานเพื่อการศึกษาเท่านั้น ไม่อนุญาตให้นำไปใช้ประโยชน์ด้านการค้า ไม่ว่าจะกรณีใดๆ ทั้งสิ้น อีกทั้งห้ามมิให้ดัดแปลงเนื้อหา และต้องอ้างอิงถึงเจ้าของเอกสารทุกครั้งที่มีการนำไปใช้

โดยที่  $i=1, \dots, n-1$  จากความสัมพันธ์ของค่าครรชนเสถียรภาพ  $\gamma_i$  ในสมการที่ (4.7) และค่าคงตัวเวลาสมมูล  $\tau$  ในสมการที่ (4.8) จะได้ค่าสัมประสิทธิ์  $a_i$  แสดงดังสมการต่อไปนี้

$$\begin{aligned} a_i &= a_0 \tau^i \frac{1}{\gamma_{i-1} \dots \gamma_2 \gamma_1^{i-1}} \\ &= a_0 \tau^i \prod_{j=1}^{i-1} \frac{1}{(\gamma_{i-j})^j} \end{aligned} \quad (4.10)$$

เมื่อแทนค่าแต่ละตัวของสัมประสิทธิ์  $a_i$  ลงในสมการที่ (4.6) จะได้พหุนามคุณลักษณะ  $P(s)$  ที่แสดงอยู่ในเทอมของ  $a_0$ ,  $\tau$  และ  $\gamma_i$  ดังนี้

$$P(s) = a_0 \left[ \sum_{i=2}^n \left( \prod_{j=1}^{i-1} \frac{1}{\gamma_{i-j}^j} \right) (\tau s)^i \right] + \tau s + 1 \quad (4.11)$$

ซึ่งสมการ  $P(s)$  นี้จะนำมาใช้ในการออกแบบตัวควบคุมด้วยวิธี CDM ต่อไป

#### 4.4 เงื่อนไขเสถียรภาพของ CDM

การพิจารณาเสถียรภาพของระบบที่ถูกออกแบบโดยวิธี CDM นั้น จะใช้เงื่อนไขความพอเพียงสำหรับเสถียรภาพของลิพาทอฟ โดยลิพาทอฟกล่าวว่าวิธีที่ใช้ในการตรวจสอบเสถียรภาพของระบบต่างๆ เช่น วิธีของเรทท์-เซอร์วิทซ์ (Routh-Hurwitz) นั้น เหมาะสมสำหรับนำมาพิจารณาเสถียรภาพของระบบอันดับ 3 หรืออันดับ 4 แต่ไม่เพียงพอต่อการนำมาพิจารณาเสถียรภาพของระบบอันดับสูงๆ ลิพาทอฟได้เสนอว่า ระบบอันดับที่  $n$  ที่มีจำนวนพารามิเตอร์  $n$  ตัว ขอบเขตเสถียรภาพที่แท้จริง (exact stability region) สามารถอนุมานให้อยู่ในรูปเชิงซ้อนที่มี  $n$  มิติ แต่ขอบเขตเสถียรภาพที่พอเพียง (sufficient stability region) จะเป็นส่วนย่อยของขอบเขตเสถียรภาพที่แท้จริง ดังนั้นระบบใดๆ อาจมีเสถียรภาพแม้ว่าเงื่อนไขเสถียรภาพที่พอเพียงจะไม่น่าพอใจก็ตาม ด้วยเหตุนี้จึงกล่าวได้ว่า เงื่อนไขเสถียรภาพของลิพาทอฟเป็นเงื่อนไขที่ขึ้นอยู่กับความพอเพียง

จากวิธีตรวจสอบเสถียรภาพของเรทท์-เซอร์วิทซ์ เงื่อนไขเสถียรภาพของระบบอันดับ 3 แสดงดังนี้

$$a_2 a_1 > a_3 a_0 \quad (4.12)$$

ซึ่งสามารถเขียนอยู่ในเทอมของครรชนเสถียรภาพคือ

$$\gamma_2 \gamma_1 > 1 \quad (4.13)$$

เอกสารนี้เป็นเอกสารที่สงวนไว้สำหรับการใช้งานเพื่อการศึกษาเท่านั้น ไม่อนุญาตให้นำไปใช้ประโยชน์ด้านการค้าไม่ว่ากรณีใดๆ ทั้งสิ้น อีกทั้งห้ามมิให้ดัดแปลงเนื้อหา และต้องอ้างอิงถึงเจ้าของเอกสารทุกครั้งที่มีการนำไปใช้

และเงื่อนไขเสถียรภาพของระบบอันดับ 4 แสดงดังนี้

$$a_2 > (a_1/a_3)a_4 + (a_3/a_1)a_0 \quad (4.14)$$

$$\gamma_2\gamma_3 > 1 \quad (4.15)$$

จากสมการที่ (4.9),(4.13) และ (4.15) สามารถสรุปเงื่อนไขเสถียรภาพสำหรับระบบอันดับ 3 และ 4 ได้ดังนี้

$$\gamma_i > \gamma_i^* \text{ สำหรับทุกๆค่าของ } i = 2 \sim n-2 \quad (4.16)$$

สำหรับระบบอันดับ 5 และอันดับที่สูงขึ้นไป ลีพาทอฟได้เสนอเงื่อนไขพอเพียงสำหรับความมีเสถียรภาพและความไม่มีเสถียรภาพของระบบไว้หลายรูปแบบ โดยทฤษฎีที่เหมาะสมกับการออกแบบตัวควบคุมด้วย CDM แสดงดังต่อไปนี้

เงื่อนไขพอเพียงเพื่อการตรวจสอบความมีเสถียรภาพของระบบคือ

$$a_i > 1.12 \left[ \frac{a_{i-1}}{a_{i+1}} a_{i+2} + \frac{a_{i+1}}{a_{i-1}} a_{i-2} \right] \quad (4.17)$$

$$\gamma_i > 1.12\gamma_i^* \text{ สำหรับทุกๆ ค่าของ } i = 2 \sim n-2 \quad (4.18)$$

และเงื่อนไขพอเพียงเพื่อการตรวจสอบความไม่มีเสถียรภาพของระบบคือ

$$a_{i+1}a_i \leq a_{i+2}a_{i-1} \quad (4.19)$$

$$\gamma_{i+1}\gamma_i \leq 1, \text{ สำหรับบางค่าของ } i = 1 \sim n-2 \quad (4.20)$$

#### 4.5 รูปแบบมาตรฐานของ CDM

Kessler ได้กำหนดค่าครรชนีเสถียรภาพ  $\gamma_i$  ทุกๆค่ามีค่าเท่ากับ 2 เพื่อลดการออสซิลเลท และค่าพุ่งเกินของผลตอบสนองที่เกิดขึ้นในระบบควบคุมที่ออกแบบด้วยรูปแบบ ITAE (Integral Time Absolute Error) ต่อมา Manabe พบว่าการกำหนดค่าครรชนีเสถียรภาพ  $\gamma_i$  มีค่าเท่ากับ 2.5 จะทำให้ผลตอบสนองชั่วคราวดีขึ้น กล่าวคือผลตอบสนองไม่มีค่าพุ่งเกินและมีช่วงเวลายื่นลดลง ดังนั้นค่าครรชนีเสถียรภาพ  $\gamma_i$  มาตรฐานของ CDM คือ

$$\gamma_{n-1} = \dots = \gamma_3 = \gamma_2 = 2, \quad \gamma_1 = 2.5 \quad (4.21)$$

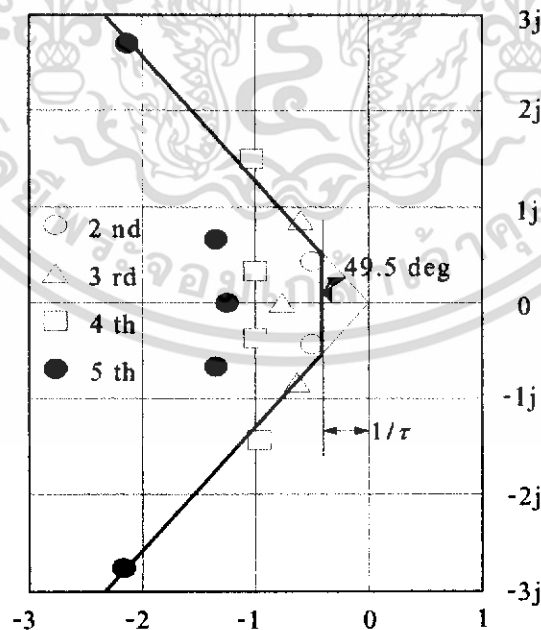
เอกสารนี้เป็นเอกสารที่สงวนไว้สำหรับการใช้งานเพื่อการศึกษาเท่านั้น ไม่อนุญาตให้นำไปใช้ประโยชน์ด้านการค้า ไม่ว่าจะกรณีใดๆ ทั้งสิ้น อีกทั้งห้ามมิให้ดัดแปลงเนื้อหา และต้องอ้างอิงถึงเจ้าของเอกสารทุกครั้งที่มีการนำไปใช้

และค่าคงตัวเวลาสมมูล  $\tau$  จะมีความสัมพันธ์กับช่วงเวลาเข้าที่ (settling time:  $t_s$ ) ดังนี้

$$t_s = 2.5\tau \sim 3\tau \quad (4.22)$$

จากสมการที่ (4.11) จะเห็นว่าพหุนามคุณลักษณะ  $P(s)$  จะประกอบด้วยค่าคงตัวเวลาสมมูล  $\tau$  และค่าครรชนีเสถียรภาพ  $\gamma_i$  ดังนั้น รูปร่างของผลตอบสนองของระบบจะถูกกำหนดด้วยค่าครรชนีเสถียรภาพ  $\gamma_i$  และความเร็วของผลตอบสนองจะถูกกำหนดด้วยค่าคงตัวเวลาสมมูล  $\tau$  ซึ่งคุณสมบัติของรูปแบบมาตรฐานของ CDM สามารถสรุปได้ดังนี้

- (1) สำหรับระบบแบบชนิด 1 (type 1) จะไม่มีค่าพุ่งเกินและระบบแบบชนิด 2 (type 2) จะมีค่าพุ่งเกินประมาณ 40 เปอร์เซ็นต์
- (2) การกำหนดช่วงเวลาขึ้นของผลตอบสนองของระบบสามารถออกแบบได้จากการกำหนดค่าคงตัวเวลาสมมูล  $\tau$
- (3) รูปร่างของผลตอบสนองทางเวลาของระบบควบคุมที่ออกแบบด้วยวิธี CDM จะไม่ขึ้นอยู่กับอันดับของระบบ แต่จะขึ้นอยู่กับการกำหนดค่าครรชนีเสถียรภาพ  $\gamma_i$  และค่าคงตัวเวลาสมมูล  $\tau$
- (4) ตำแหน่งโพลของระบบอันดับต่ำจะเรียงกันเป็นเส้นตรง และตำแหน่งโพลของระบบอันดับสูงจะอยู่ภายใน 49.5 องศา จากแกนจริงด้านลบ (negative real axis) โดยมีอัตราส่วนการหน่วง (damping ratio)  $\zeta$  มากกว่า 0.65 แสดงดังรูปที่ 4.2



รูปที่ 4.2 ตำแหน่งโพลของระบบอันดับต่างๆ

เอกสารนี้เป็นเอกสารที่สงวนไว้สำหรับการใช้งานเพื่อการศึกษาเท่านั้น ไม่อนุญาตให้นำไปใช้ประโยชน์ด้านการค้าไม่ว่ากรณีใดๆ ทั้งสิ้น อีกทั้งห้ามมิให้ดัดแปลงเนื้อหา และต้องอ้างอิงถึงเจ้าของเอกสารทุกครั้งที่มีการนำไปใช้

#### 4.6 เงื่อนไขการเลือกค่าครรชนีเสถียรภาพ

โดยทั่วไปแล้วการเลือกค่าครรชนีเสถียรภาพมาตรฐานจะเป็นเงื่อนไขเริ่มต้นในการออกแบบตัวควบคุมเพื่อให้ระบบควบคุมมีเสถียรภาพและมีผลตอบสนองตามต้องการ อย่างไรก็ตามค่าครรชนีเสถียรภาพนี้ยังสามารถปรับเปลี่ยนได้เพื่อให้ระบบควบคุมมีสมรรถนะตามต้องการ แต่ในการปรับเปลี่ยนจะต้องอยู่ภายใต้เงื่อนไขดังนี้

$$\gamma_i > 1.5\gamma_i^* \quad (4.23)$$

ในกรณีที่เลือกค่าครรชนีเสถียรภาพ  $\gamma_i$  ให้มีค่ามากก็เพื่อให้ระบบควบคุมมีความคงทนต่อการเปลี่ยนแปลงพารามิเตอร์ของกระบวนการ และจากเงื่อนไขความพอเพียงสำหรับเสถียรภาพของลีพาทอฟกล่าวไว้ว่า ระบบจะมีเสถียรภาพถ้าครรชนีเสถียรภาพทุกตัวมีค่ามากกว่า 1.5 ซึ่งได้ทำการพิสูจน์ไว้ในงานวิจัยของลีพาทอฟ และถ้าครรชนีเสถียรภาพมีค่ามากกว่า 4 ทุกตัวจะทำให้รากของระบบเป็นจำนวนจริงลบทั้งหมด ดังนั้นโดยปกติจะเลือกค่า  $\gamma_i$  อยู่ระหว่าง 1.5 ถึง 4

#### 4.7 แผนผังค่าสัมประสิทธิ์

แผนผังค่าสัมประสิทธิ์เป็นเครื่องมือที่ใช้ในการออกแบบตัวควบคุม ซึ่งจะบอกลักษณะเสถียรภาพ เวลาของผลตอบสนองและความคงทนของระบบ ในแผนผังค่าสัมประสิทธิ์จะแสดงเป็นกราฟสี่เหลี่ยม โดยแกนตั้งแสดงค่าสัมประสิทธิ์ของพหุนามคุณลักษณะ  $a_i$  ค่าครรชนีเสถียรภาพ  $\gamma_i$  ค่าจำกัดเสถียรภาพ  $\gamma_i^*$  และค่าคงตัวเวลาสมมูล  $\tau$  ส่วนแกนอนแสดงอันดับ  $i$  ของค่าสัมประสิทธิ์แต่ละตัว ซึ่งความโค้งของเส้นกราฟจะบอกความมีเสถียรภาพ และความลาดเอียงของเส้นโค้งจะบอกความเร็วของผลตอบสนอง การเปลี่ยนแปลงรูปร่างของเส้นโค้งเนื่องจากพารามิเตอร์ของระบบเปลี่ยนแปลงจะเป็นตัวบอกความคงทนของระบบ

ในการพล็อตแผนผังค่าสัมประสิทธิ์นั้น จะขอยกตัวอย่างเพื่อให้เกิดความเข้าใจง่ายขึ้นดังต่อไปนี้ ถ้ากำหนดให้พหุนามคุณลักษณะของระบบควบคุมวงปิดคือ

$$P(s) = 0.25s^5 + s^4 + 2s^3 + 2s^2 + s + 0.2 \quad (4.24)$$

แล้ว จะเขียนสัมประสิทธิ์  $a_i$  ของพหุนามคุณลักษณะ  $P(s)$  ได้ดังนี้

$$a_i = [0.25 \ 1 \ 2 \ 2 \ 1 \ 0.2] \quad (4.25)$$

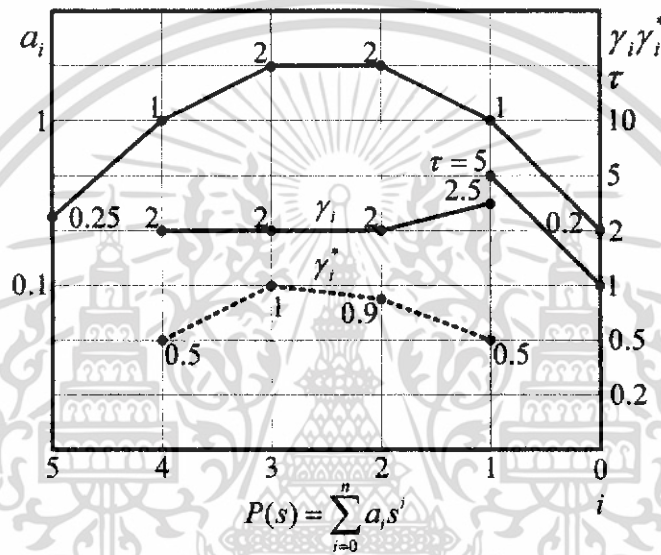
สำหรับค่าพารามิเตอร์ของ CDM แสดงได้ดังนี้

$$\gamma_i = [2 \ 2 \ 2 \ 2.5] \tag{4.26}$$

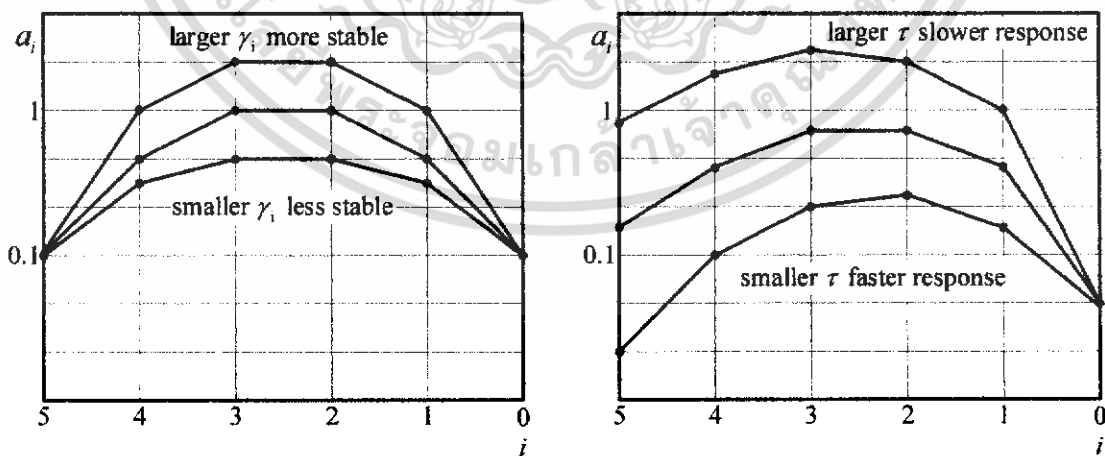
$$\tau = 5 \tag{4.27}$$

$$\gamma_i^* = [0.5 \ 1 \ 0.9 \ 0.5] \tag{4.28}$$

ดังนั้น แผนผังค่าสัมประสิทธิ์ ซึ่งประกอบด้วยค่าสัมประสิทธิ์  $a_i$  ค่าครรชนีเสถียรภาพ  $\gamma_i$  ค่าจำกัดเสถียรภาพ  $\gamma_i^*$  และค่าคงตัวเวลาสมมูล  $\tau$  แสดงได้ดังรูปที่ 4.3



รูปที่ 4.3 แผนผังค่าสัมประสิทธิ์



(ก) เสถียรภาพของระบบ

(ข) ผลตอบสนองของระบบ

รูปที่ 4.4 ผลกระทบของการเปลี่ยนแปลงค่าครรชนีเสถียรภาพ  $\gamma_i$  และค่าคงตัวเวลาสมมูล  $\tau$

เอกสารนี้เป็นเอกสารที่สงวนไว้สำหรับการใช้งานเพื่อการศึกษาเท่านั้น ไม่อนุญาตให้นำไปใช้ประโยชน์ด้านการค้า ไม่ว่าจะกรณีใดๆ ทั้งสิ้น อีกทั้งห้ามมิให้ดัดแปลงเนื้อหา และต้องอ้างอิงถึงเจ้าของเอกสารทุกครั้งที่มีการนำไปใช้

จากรูปที่ 4.4(ก) แสดงให้เห็นว่าถ้าเส้นโค้งของสัมประสิทธิ์  $\alpha$ , มีความโค้งมากจะทำให้ระบบควบคุมมีเสถียรภาพมากขึ้น โดยจะสอดคล้องกับค่าครรชนีเสถียรภาพ  $\gamma$ , ที่มีค่ามาก ในทางกลับกันถ้าเส้นโค้ง  $\alpha$ , มีความโค้งน้อยจะทำให้ระบบควบคุมมีเสถียรภาพน้อยลง โดยสอดคล้องกับค่า  $\gamma$ , ที่มีค่าน้อย และจากรูปที่ 4.4(ข) แสดงให้เห็นว่าเมื่อปลายเส้นโค้ง  $\alpha$ , เบี่ยงไปทางซ้ายมากขึ้นค่าคงตัวเวลาสมมูล  $\tau$  จะมีค่าน้อยลงและผลตอบสนองจะเร็วขึ้น



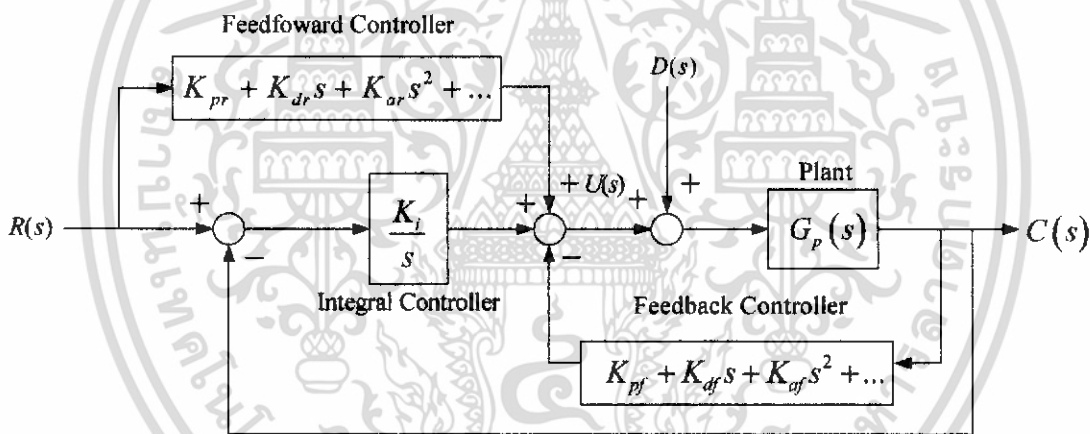
เอกสารนี้เป็นเอกสารที่สงวนไว้สำหรับการใช้งานเพื่อการศึกษาเท่านั้น ไม่อนุญาตให้นำไปใช้ประโยชน์ด้านการค้าไม่ว่ากรณีใดๆ ทั้งสิ้น อีกทั้งห้ามมิให้ดัดแปลงเนื้อหา และต้องอ้างอิงถึงเจ้าของเอกสารทุกครั้งที่มีการนำไปใช้

## บทที่ 5

# การออกแบบค่าพารามิเตอร์ของตัวควบคุมแบบสองชั้น ความอิสระโดยวิธีแผนผังค่าสัมประสิทธิ์

ในบทนี้จะกล่าวถึงวิธีการออกแบบค่าพารามิเตอร์ของตัวควบคุมแบบสองชั้นความอิสระโดยวิธีแผนผังค่าสัมประสิทธิ์ การออกแบบค่าพารามิเตอร์นั้นพิจารณาจากความสามารถในการกำจัดสัญญาณรบกวนและความเร็วในการตอบสนองของระบบที่เราต้องการควบคุม โดยมีค่าจำกัดเสถียรภาพ  $\gamma_i^*$  เป็นตัวกำหนดเสถียรภาพของระบบ ค่าคงตัวเวลาสมมูล  $\tau$  และจูนนิ่งแฟกเตอร์ (Tuning factor)  $\alpha$  เป็นตัวกำหนดความเร็วในการตอบสนอง ซึ่งค่าจำกัดเสถียรภาพ  $\gamma_i^*$  ค่าคงตัวเวลาสมมูล  $\tau$  และ จูนนิ่งแฟกเตอร์  $\alpha$  หาได้จากระบบถ่ายโอนวงปิด และค่าสัมประสิทธิ์เหล่านี้

### 5.1 โครงสร้างระบบควบคุม

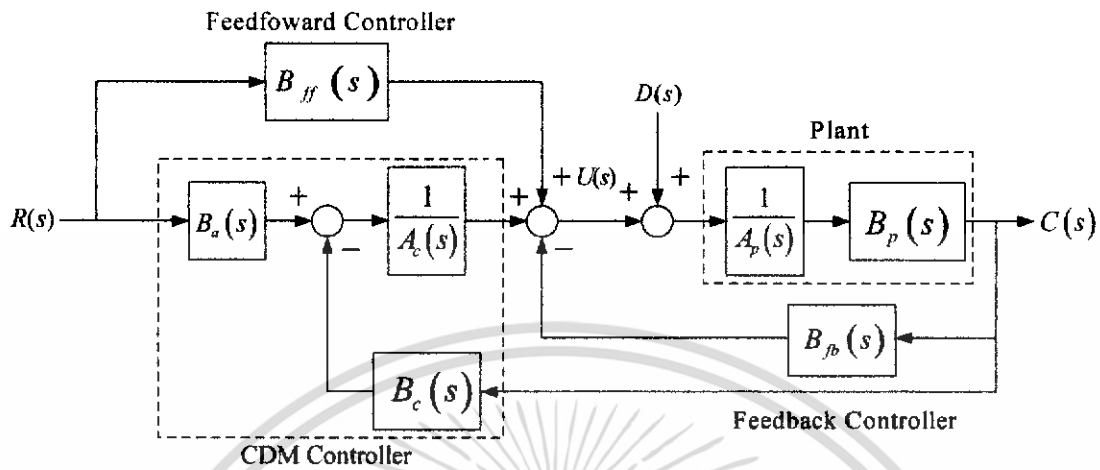


รูปที่ 5.1 โครงสร้างระบบควบคุมแบบสองชั้นความอิสระ

ในรูปที่ 5.1 แสดงโครงสร้างทั่วไปของระบบควบคุม ซึ่งประกอบด้วย พลานต์ ตัวควบคุมแบบป้อนไปหน้า (feedforward controller) ตัวควบคุมแบบป้อนกลับ (feedback controller) และตัวควบคุมแบบอินทิกรัล (Integral controller) เมื่อทำการออกแบบตัวควบคุมแบบสองชั้นความอิสระด้วยวิธีแผนผังค่าสัมประสิทธิ์ให้ได้ค่าที่เหมาะสม จึงต้องจัดตัวควบคุมให้อยู่ในรูปของวิธีแผนผังค่าสัมประสิทธิ์ ซึ่งประกอบด้วย บล็อกโคเออร์แกนมาตรฐานของระบบ SISO รวมทั้งตัวควบคุมแบบป้อนไปหน้าและตัวควบคุมแบบป้อนกลับดังแสดงในรูปที่ 5.2 ตัวควบคุมและ พลานต์สามารถแสดงให้อยู่ในรูปสมการพหุนาม โดยที่  $A_p(s)$  และ  $B_p(s)$  เป็นสมการพหุนามของพลานต์  $G_p(s)$ ,  $A_c(s)$ ,  $B_c(s)$  และ  $B_a(s)$  เป็นสมการพหุนามของตัวควบคุม CDM มาตรฐาน

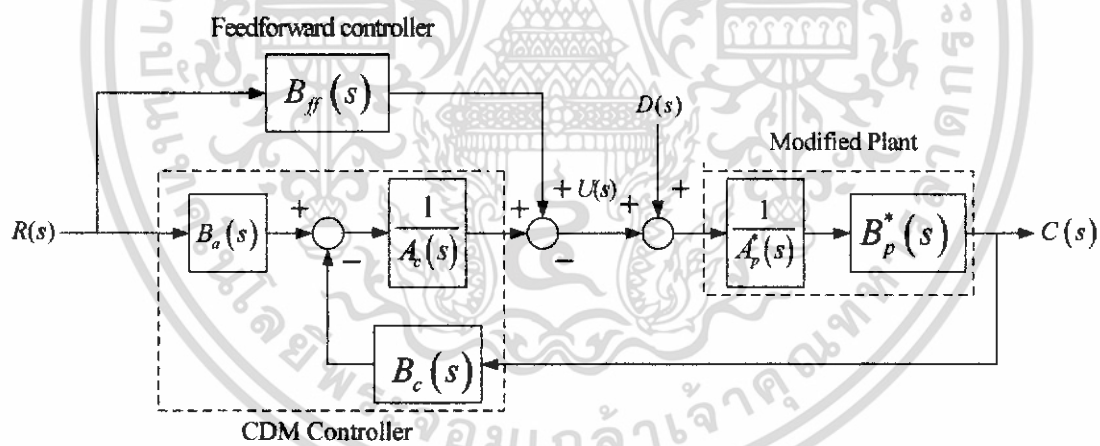
เอกสารนี้เป็นเอกสารที่สงวนไว้สำหรับการใช้งานเพื่อการศึกษาเท่านั้น ไม่อนุญาตให้นำไปใช้ประโยชน์ด้านการค้าไม่ว่ากรณีใดๆ ทั้งสิ้น อีกทั้งห้ามมิให้ดัดแปลงเนื้อหา และต้องอ้างอิงถึงเจ้าของเอกสารทุกครั้งที่มีการนำไปใช้

$B_{ff}(s)$  เป็นสมการพหุนามของตัวควบคุมแบบป้อนไปหน้า  $B_{fb}(s)$  เป็นสมการพหุนามแบบป้อนกลับ และ  $D(s)$  เป็นสัญญาณรบกวนที่เข้ามาในระบบ



รูปที่ 5.2 ระบบควบคุมแบบสองชั้นความอิสระในรูปแบบของ CDM

สมการพหุนามของพลานต์ที่รวม  $B_{fb}(s)$  เข้าไว้ด้วยคือ  $A_p^*(s)$  และ  $B_p^*(s)$  ซึ่งจะเรียกว่าพลานต์ที่ได้รับการปรับปรุง (modified plant) แล้วจึงแสดงในรูปที่ 5.3



รูปที่ 5.3 โครงสร้างที่ปรับปรุงจากรูปที่ 5.2

จากบล็อกไดอะแกรมในรูปที่ 5.3 จะหาฟังก์ชันถ่ายโอนวงปิดของเอาต์พุตต่อสัญญาณอ้างอิงได้ ดังนี้

$$\frac{C(s)}{R(s)} = \frac{B_p^*(s)B_a(s) + B_{ff}(s)A_c(s)}{A_c(s)A_p^*(s) + B_c(s)B_p^*(s)} \quad (5.1)$$

เอกสารนี้เป็นเอกสารที่สงวนไว้สำหรับการใช้งานเพื่อการศึกษาเท่านั้น ไม่อนุญาตให้นำไปใช้ประโยชน์ด้านการค้า ไม่ว่าจะกรณีใดๆ ทั้งสิ้น อีกทั้งห้ามมิให้ดัดแปลงเนื้อหา และต้องอ้างอิงถึงเจ้าของเอกสารทุกครั้งที่มีการนำไปใช้

และฟังก์ชันถ่ายโอนวงปิดของเอาต์พุตต่อสัญญาณรบกวนได้ว่า

$$\frac{C(s)}{D(s)} = \frac{B_p^*(s)A_c(s)}{A_c(s)A_p^*(s) + B_c(s)B_p^*(s)} \quad (5.2)$$

จากฟังก์ชันถ่ายโอนที่ (5.1) และ (5.2) จะเห็นว่าตัวควบคุมแบบป้อนไปหน้า  $B_{ff}(s)$  มีอิทธิพลต่อฟังก์ชันถ่ายโอนวงปิดจาก  $R(s)$  ถึง  $C(s)$  และสามารถใช้ปรับเพิ่มความเร็วของผลตอบสนองชั่วคราวของระบบ ขณะที่ตัวควบคุมไม่ส่งผลกระทบต่อฟังก์ชันถ่ายโอนจาก  $D(s)$  ถึง  $C(s)$  เพื่อจัดรูปฟังก์ชันถ่ายโอนวงปิดของตัวควบคุมแบบสองชั้นความอิสระให้อยู่ในเทอมของ  $\gamma_i, \tau$  และ  $\alpha$  ฟังก์ชันถ่ายโอนวงปิดจากสมการที่ (5.1) จะเขียนได้เป็น

$$\begin{aligned} \frac{C(s)}{R(s)} &= \frac{B(s)}{A(s)} \\ &= \frac{b_m s^m + b_{m-1} s^{m-1} + \dots + b_1 s + b_0}{a_n s^n + a_{n+1} s^{n+1} + \dots + a_1 s + a_0} \end{aligned} \quad (5.3)$$

โดยที่  $m \leq n$  และ  $a, b$  เป็นค่าคงที่ ส่วนของพหุนาม  $A(s)$  คือสมการพหุนามคุณลักษณะของระบบวงปิด และสามารถหาค่าสัมประสิทธิ์ได้จาก

$$A(s) = a_0 \left[ \sum_{i=2}^n \left( \prod_{j=1}^{i-1} \frac{1}{\gamma_{i-j}} \right) (\tau s)^i \right] + \tau s + 1 \quad (5.4)$$

สมการนี้เหมือนกับสมการที่ (4.11)

โดยทั่วไป CDM จะใช้สำหรับออกแบบสมการพหุนามคุณลักษณะของระบบวงปิดอย่างไรก็ตาม วิธีนี้ก็สามารถนำมาหาพหุนามตัวเศษ  $B(s)$  ได้เช่นกัน ดังนั้นความสัมพันธ์ระหว่างสัมประสิทธิ์ของพหุนาม  $B(s)$  จึงเขียนได้ว่า

$$\begin{aligned} b_i &= b_0 (\alpha \tau)^i \frac{1}{\gamma_{i-1} \dots \gamma_2^{i-2} \gamma_1^{i-1}} \\ &= b_0 (\alpha \tau)^i \prod_{j=1}^{i-1} \frac{1}{(\gamma_{i-j})^j} \end{aligned} \quad (5.5)$$

เมื่อ  $\alpha$  คือค่าจูนนิ่งแฟกเตอร์ (Tuning factor) ซึ่งเป็นตัวกำหนดค่าคงตัวเวลาสมมูล  $\tau$  จึงสามารถปรับความเร็วในการตอบสนองได้ โดยกำหนดให้ค่าของ จูนนิ่งแฟกเตอร์  $\alpha$  มีค่าเป็น  $0 < \alpha \leq 1$

เอกสารนี้เป็นเอกสารที่สงวนไว้สำหรับการใช้งานเพื่อการศึกษาเท่านั้น ไม่อนุญาตให้นำไปใช้ประโยชน์ด้านการค้าไม่ว่ากรณีใดๆ ทั้งสิ้น อีกทั้งห้ามมิให้ดัดแปลงเนื้อหา และต้องอ้างอิงถึงเจ้าของเอกสารทุกครั้งที่มีการนำไปใช้

ทำการแทนค่าสัมประสิทธิ์  $b_i$  แต่ละตัวลงไปในพหุนามตัวเศษ  $B(s)$  ซึ่งแสดงอยู่ในรูปของ  $\gamma_i, \tau$  และ  $\alpha$  ดังนี้

$$B(s) = b_0 \left[ \left\{ \sum_{i=2}^m \left( \prod_{j=1}^{i-1} \frac{1}{\gamma_{i-j}} \right) (\alpha \tau s)^i \right\} + \alpha \tau s + 1 \right] \quad (5.6)$$

จากสมการที่ (5.6) จึงสามารถหาฟังก์ชันถ่ายโอนของระบบควบคุมแบบสองชั้นความอิสระในรูปของ  $\gamma_i, \tau$  และ  $\alpha$  ได้ดังสมการ

$$\frac{C(s)}{R(s)} = \frac{b_0 \left[ \left\{ \sum_{i=2}^m \left( \prod_{j=1}^{i-1} \frac{1}{\gamma_{i-j}} \right) (\alpha \tau s)^i \right\} + \alpha \tau s + 1 \right]}{a_0 \left[ \left\{ \sum_{i=2}^n \left( \prod_{j=1}^{i-1} \frac{1}{\gamma_{i-j}} \right) (\tau s)^i \right\} + \tau s + 1 \right]} \quad (5.7)$$

สมการนี้เป็นรูปแบบทั่วไปสำหรับการออกแบบตัวควบคุมแบบสองชั้นความอิสระ

## 5.2 วิธีการออกแบบระบบควบคุมแบบสองชั้นความอิสระ

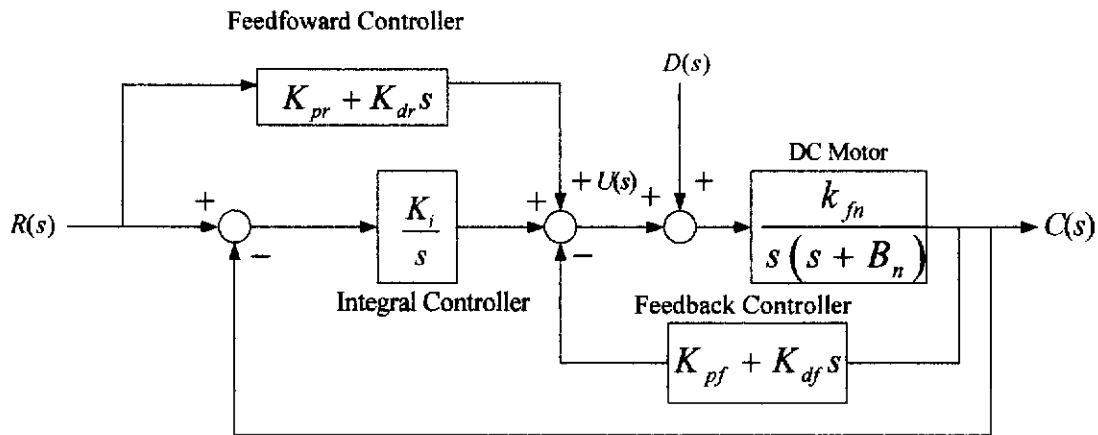
ค่าพารามิเตอร์ของตัวควบคุมแบบสองชั้นความอิสระสามารถออกแบบได้โดยวิธีการดังนี้

- (1) หาฟังก์ชันถ่ายโอนวงปิดในสมการที่ (5.1) ได้จากสมการพหุนามของพลาเน็ตที่ปรับปรุงแล้ว ตัวควบคุมแบบป้อนไปหน้า ตัวควบคุมแบบอินทิกรัล และพีรีฟิลเตอร์
- (2) กำหนดค่าช่วงเวลาเข้าที่  $r_s$  เพื่อหาค่าคงตัวเวลาสมมูล  $\tau$  จากสมการที่ (4.26) และกำหนดค่าครรชนีเสถียรภาพ  $\gamma_i$  และจูนนิ่งเพกเตอร์  $\alpha$  จากนั้นแทนค่าพารามิเตอร์เหล่านี้ในฟังก์ชันถ่ายโอนวงปิด
- (3) ให้ฟังก์ชันถ่ายโอนในสมการที่ (5.1) เท่ากับฟังก์ชันถ่ายโอนในสมการที่ (5.7) จะหาค่าพารามิเตอร์ของตัวควบคุมแบบสองชั้นความอิสระได้

## 5.3 การออกแบบระบบควบคุมแบบสองชั้นความอิสระสำหรับการควบคุมตำแหน่งของมอเตอร์กระแสตรง

จากที่ทำการหาสมการพลวัตของมอเตอร์กระแสตรงที่ประมาณได้เป็นระบบอันดับสอง โครงสร้างของตัวควบคุมแบบป้อนไปหน้าและแบบป้อนกลับในรูปที่ 5.1 มาเป็นการควบคุมแบบพีดีดังแสดงในรูปที่ 5.4 โดยที่  $K_{df}$  และ  $K_{pf}$  เป็นอัตราขยายเดริเวทีฟและอัตราขยายสัดส่วนของตัวควบคุมแบบป้อนกลับ  $K_{dr}$  และ  $K_{pr}$  เป็นอัตราขยายเดริเวทีฟและอัตราขยายสัดส่วนของตัวควบคุมแบบป้อนไปหน้าตามลำดับและ  $K_i$  เป็นอัตราขยายอินทิกรัล

เอกสารนี้เป็นเอกสารที่สงวนไว้สำหรับการใช้งานเพื่อการศึกษาเท่านั้น ไม่อนุญาตให้นำไปใช้ประโยชน์ด้านการค้า ไม่ว่าจะกรณีใดๆ ทั้งสิ้น อีกทั้งห้ามมิให้ดัดแปลงเนื้อหา และต้องอ้างอิงถึงเจ้าของเอกสารทุกครั้งที่มีการนำไปใช้



รูปที่ 5.4 ระบบควบคุมตำแหน่งมอเตอร์กระแสตรงแบบสองชั้นความอิสระ

ในการหาค่าพารามิเตอร์ของตัวควบคุมแบบป้อนไปหน้า ตัวควบคุมแบบป้อนกลับและตัวควบคุมแบบอินทิกรัล ต้องหาฟังก์ชันถ่ายโอนจากพลานต์ที่ได้รับการปรับปรุง

$$G_p^*(s) = \frac{B_p^*(s)}{A_p^*(s)} = \frac{B_p(s)}{A_p + (K_{pf} + K_{df}s)B_p(s)} \quad (5.8)$$

ตัวควบคุมแบบอินทิกรัล

$$G_c(s) = \frac{B_c(s)}{A_c(s)} = \frac{K_i}{s} \quad (5.9)$$

ตัวควบคุมแบบป้อนไปหน้า

$$B_{ff}(s) = K_{dr}(s) + K_{pr} \quad (5.10)$$

และพีดีคอนโทรลเลอร์

$$B_a(s) = K_i \quad (5.11)$$

เมื่อ  $B_p(s) = k_{fn}$  และ  $A_p(s) = s^2 + B_n s$  ดังนั้นฟังก์ชันถ่ายโอนของระบบของมอเตอร์กระแสตรงที่ควบคุมตำแหน่งโดยตัวควบคุมแบบสองชั้นความอิสระคือ

$$\frac{C(s)}{R(s)} = \frac{K_{dr}s^2 + K_{pr}s + K_i}{\left(\frac{1}{k_{fn}}\right)s^3 + \left(K_{df} + \frac{B_n}{k_{fn}}\right)s^2 + K_{pf}s + K_i} \quad (5.12)$$

เอกสารนี้เป็นเอกสารที่สงวนไว้สำหรับการใช้งานเพื่อการศึกษาเท่านั้น ไม่อนุญาตให้นำไปใช้ประโยชน์ด้านการค้า ไม่ว่าจะกรณีใดๆ ทั้งสิ้น อีกทั้งห้ามมิให้ดัดแปลงเนื้อหา และต้องอ้างอิงถึงเจ้าของเอกสารทุกครั้งที่มีการนำไปใช้

และสมการที่ (5.13) เป็นฟังก์ชันถ่ายโอนของระบบควบคุมแบบสองชั้นความอิสระที่อยู่ในรูปของ  $\gamma, \tau$  และ  $\alpha$

$$\frac{C(s)}{R(s)} = \frac{b_0 \left( \frac{(\alpha\tau)^2}{\gamma_1} s^2 + (\alpha\tau)s + 1 \right)}{a_0 \left( \frac{\tau^3}{\gamma_1^2 \gamma_2} s^3 + \frac{\tau^2}{\gamma_1} s^2 + \tau s + 1 \right)} \quad (5.13)$$

ควรให้  $b_0$  มีค่าเท่ากับ  $a_0$  เพื่อให้อัตราขยายดีซี (DC gain) เป็นหนึ่ง และในการกำหนดค่า  $\gamma, \tau$  และ  $\alpha$  ควรเลือกค่าให้เหมาะสมกับสมรรถนะของระบบที่ต้องการ แล้วนำไปแทนในสมการที่ (5.13) จากหลักการของ CDM กล่าวไว้ว่าความเร็วในการตอบสนองและเสถียรภาพของระบบสามารถกำหนดได้จากค่าคงตัวเวลาสมมูล  $\tau$  และค่าครรชนีเสถียรภาพ  $\gamma$  ตามลำดับ ในทางปฏิบัติเมื่อค่าครรชนีเสถียรภาพ  $\gamma$  เพิ่มขึ้น เสถียรภาพของระบบจะแปรผันตามค่าพารามิเตอร์ แต่ในขณะเดียวกันค่าครรชนีเสถียรภาพ  $\gamma$  ส่งผลต่อรูปร่างของการตอบสนอง โดยเฉพาะการลดความเร็วของการตอบสนอง จึงมีจูนนิ่งแฟกเตอร์  $\alpha$  เข้ามาเป็นตัวปรับเพิ่มความเร็วในการตอบสนอง

เมื่อให้สมการที่ (5.12) เท่ากับสมการที่ (5.13) จะหาค่าพารามิเตอร์ของตัวควบคุมแบบสองชั้นความอิสระได้ จากนั้นนำวิธีการที่กล่าวมาในข้างต้นมาใช้กับมอเตอร์กระแสตรงที่มีฟังก์ชันถ่ายโอนดังสมการที่ (2.11) ซึ่งได้จากการทดลองในบทที่ 2

$$G_p(s) = \frac{1115.554}{s(s + 25.641)} \quad (2.11)$$

เมื่อนำระบบวงเปิดสมการที่ (2.11) รวมเข้ากับตัวควบคุมแบบสองชั้นความอิสระดังโครงสร้างในบทที่ 3 รูปที่ 3.10 นั้นจะได้ฟังก์ชันถ่ายโอนของระบบควบคุมตำแหน่งของมอเตอร์กระแสตรงโดยตัวควบคุมแบบสองชั้นความอิสระดังสมการที่ (3.11)

$$\frac{C(s)}{R(s)} = \frac{1115.554(K_{df}s^2 + K_{pr}s + K_i)}{s^3 + (25.641 + 1115.554K_{df})s^2 + 1115.554K_{pr}s + 1115.554K_i} \quad (3.11)$$

เพื่อหาค่าพารามิเตอร์ด้วยวิธีแผนผังค่าสัมประสิทธิ์จึงต้องปรับสมการที่ (3.11) ให้สอดคล้องกับรูปแบบทั่วไปของ CDM โดยปรับให้สมการ (3.11) อยู่ในรูปของสมการที่ (5.12) จะได้ฟังก์ชันถ่ายโอนของระบบของมอเตอร์กระแสตรงที่ควบคุมตำแหน่งโดยตัวควบคุมแบบสองชั้นความอิสระดังสมการที่ (5.14)

$$\frac{C(s)}{R(s)} = \frac{K_{dr}s^2 + K_{pr}s + K_i}{0.000896s^3 + (0.022985 + K_{df})s^2 + K_{pf}s + K_i} \quad (5.14)$$

จากนั้นจึงออกแบบรูปแบบทั่วไปของ CDM ในสมการที่ (5.13) โดยเลือกค่าครรชนิเสถียรภาพ  $\gamma_1, \gamma_2$  ค่าคงตัวเวลาสมมูล  $\tau$  และค่าชูนึงแฟกเตอร์  $\alpha$  ที่เหมาะสมเพื่อหาค่าพารามิเตอร์  $K_{df}, K_{pf}, K_i, K_{pr}$  และ  $K_{dr}$  ซึ่งขั้นตอนในการเลือกค่าพารามิเตอร์ของระบบควบคุมแบบสองชั้น ความอิสระจะหาได้โดยการจำลองและการทดลองดังจะแสดงในบทต่อไป



เอกสารนี้เป็นเอกสารที่สงวนไว้สำหรับการใช้งานเพื่อการศึกษาเท่านั้น ไม่อนุญาตให้นำไปใช้ประโยชน์ด้านการค้า ไม่ว่าจะกรณีใดๆ ทั้งสิ้น อีกทั้งห้ามมิให้ดัดแปลงเนื้อหา และต้องอ้างอิงถึงเจ้าของเอกสารทุกครั้งที่มีการนำไปใช้

## บทที่ 6

### ผลการจำลองและผลการทดลอง

ในบทนี้เป็นการทดสอบประสิทธิภาพของระบบควบคุมแบบสองชั้นความอิสระที่ใช้ในการควบคุมตำแหน่งของมอเตอร์กระแสตรง ซึ่งสมรรถนะที่สำคัญคือความสามารถในการติดตามสัญญาณอ้างอิงและการกำจัดสัญญาณรบกวน โดยในขั้นแรกนั้นเป็นการจำลองผลตอบสนองในโปรแกรม MATLAB เพื่อเลือกค่าพารามิเตอร์ที่เหมาะสม จากนั้นจึงนำค่าเหล่านี้ไปทดลองกับระบบจริง เพื่อทดสอบความสามารถของระบบควบคุมแบบสองชั้นความอิสระ

#### 6.1 ผลการจำลอง

เพื่อให้ระบบมีคุณสมบัติตามที่ต้องการ การเลือกค่าครรรชนีเสถียรภาพ  $\gamma$ , ค่าคงตัวเวลาสมมูล  $\tau$  และ ค่าจูนนิ่งแฟกเตอร์ (Tuning factor)  $\alpha$  ที่เหมาะสมจึงมีความสำคัญเนื่องจากค่าพารามิเตอร์เหล่านี้มีอิทธิพลต่อสมรรถนะของระบบ ในการจำลองต่อไปนี้เป็นการเปรียบเทียบคุณสมบัติการติดตามสัญญาณอ้างอิงและการกำจัดสัญญาณรบกวนของระบบที่ค่าครรรชนีเสถียรภาพ  $\gamma$ , และค่าจูนนิ่งแฟกเตอร์  $\alpha$  ต่าง ๆ กัน โดยผู้ออกแบบระบบเป็นผู้เลือกค่าช่วงเวลาเข้าที่เพื่อกำหนดค่าคงที่เวลาสมมูล  $\tau$

ในขั้นแรกทำการจำลองผลตอบสนองเพื่อเลือกค่าครรรชนีเสถียรภาพ  $\gamma$ , โดยไม่พิจารณาส่วนป้อนไปหน้า ให้ได้ผลตอบสนองชั่วคราวและการกำจัดสัญญาณรบกวนเป็นที่น่าพอใจ จากนั้นจึงปรับค่าพารามิเตอร์ที่ส่วนป้อนไปหน้าเพื่อลดช่วงเวลาไต่ขึ้น โดยการเลือกค่าจูนนิ่งแฟกเตอร์  $\alpha$

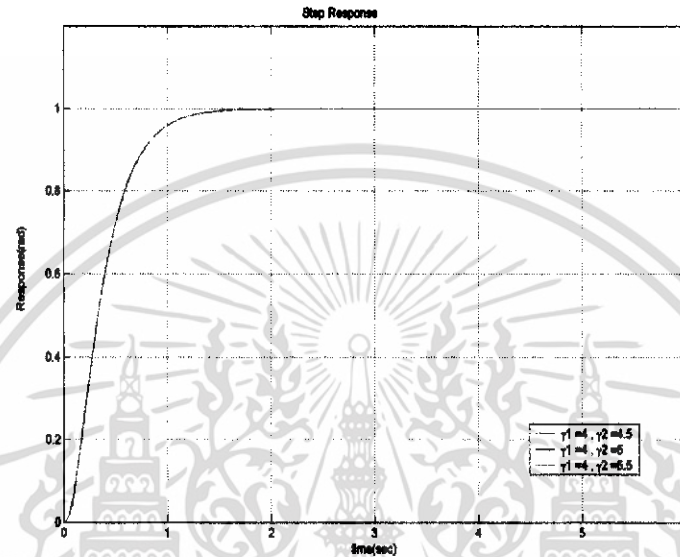
##### 6.1.1 ผลตอบสนองเมื่อแปรผันค่าครรรชนีเสถียรภาพ

การแปรผันค่าครรรชนีเสถียรภาพ  $\gamma$ , โดยไม่พิจารณาส่วนป้อนไปหน้า ( $\alpha = 0$ ) เป็นการศึกษาผลตอบสนองต่อสัญญาณอ้างอิงและความสามารถในการกำจัดสัญญาณรบกวน ในการจำลองผู้ออกแบบเลือกค่าช่วงเวลาเข้าที่  $t_r$  เท่ากับ 1 วินาที ซึ่งให้ค่าคงที่เวลาสมมูล  $\tau$  มีค่าเท่ากับ 0.4

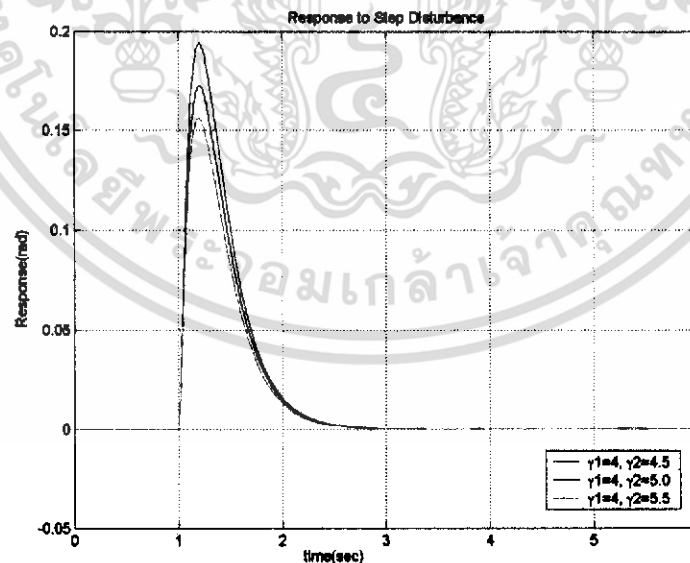
เมื่อให้ค่าครรรชนีเสถียรภาพ  $\gamma_1$  คงที่ และแปรผันค่าครรรชนีเสถียรภาพ  $\gamma_2$  ค่าพารามิเตอร์  $K_{df}, K_{pf}$  และ  $K$ , มีค่าต่างๆ กันดังตารางที่ 6.1 รวมทั้งให้ผลตอบสนองต่อสัญญาณอ้างอิงและผลตอบสนองต่อสัญญาณรบกวนดังรูปที่ 6.1(ก) และรูปที่ 6.1(ข) ตามลำดับ จากนั้นให้ค่าครรรชนีเสถียรภาพ  $\gamma_2$  คงที่และแปรผันค่าครรรชนีเสถียรภาพ  $\gamma_1$  ซึ่งให้ค่าพารามิเตอร์ดังตารางที่ 6.2 และให้ผลตอบสนองต่อสัญญาณอ้างอิงและผลตอบสนองต่อสัญญาณรบกวนดังรูปที่ 6.2(ก) และรูปที่ 6.2(ข) ตามลำดับ

ตารางที่ 6.1 การแปรผันค่าครรชนีเสถียรภาพ  $\gamma_2$

ระบบ	$\alpha$	$\tau$	$\gamma_1$	$\gamma_2$	$K_{df}$	$K_{pf}$	$K_i$
1	0	0.4	4.0	4.5	0.01735	0.40339	1.00847
2	0	0.4	4.0	5.0	0.02184	0.44821	1.12052
3	0	0.4	4.0	5.5	0.02632	0.49303	1.23257



(ก) ผลตอบสนองต่อสัญญาณอ้างอิง



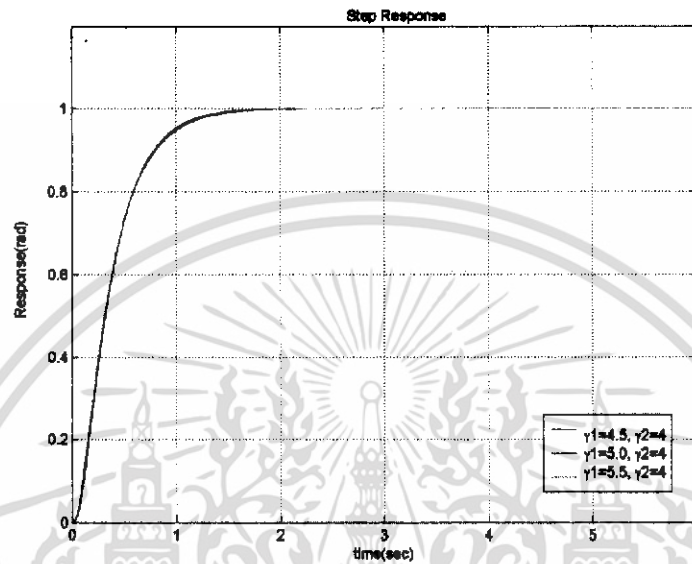
(ข) การกำจัดสัญญาณรบกวน

รูปที่ 6.1 ผลตอบสนองเมื่อแปรผันค่าครรชนีเสถียรภาพ  $\gamma_2$

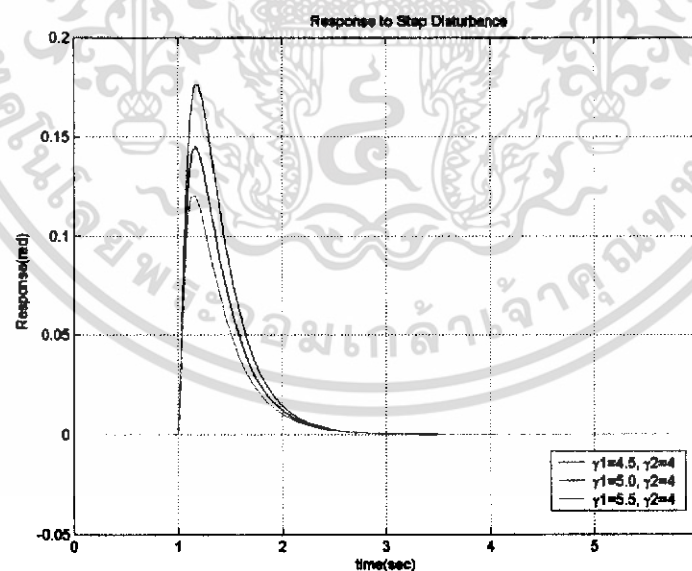
เอกสารนี้เป็นเอกสารที่สงวนไว้สำหรับการใช้งานเพื่อการศึกษาเท่านั้น ไม่อนุญาตให้นำไปใช้ประโยชน์ด้านการค้า ไม่ว่าจะกรณีใดๆ ทั้งสิ้น อีกทั้งห้ามมิให้ดัดแปลงเนื้อหา และต้องอ้างอิงถึงเจ้าของเอกสารทุกครั้งที่มีการนำไปใช้

ตารางที่ 6.2 การแปรผันค่าครรชนีเสถียรภาพ  $\gamma_1$

ระบบ	$\alpha$	$\tau$	$\gamma_1$	$\gamma_2$	$K_{df}$	$K_{pf}$	$K_i$
4	0	0.4	4.5	4.0	0.01735	0.45381	1.13453
5	0	0.4	5.0	4.0	0.02183	0.56026	1.40065
6	0	0.4	5.5	4.0	0.02631	0.67791	1.69479



(ก) ผลตอบสนองต่อสัญญาณอ้างอิง



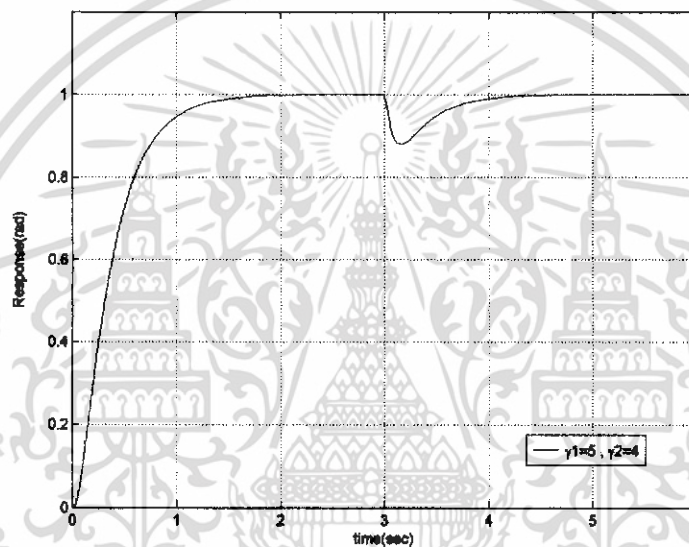
(ข) การกำจัดสัญญาณรบกวน

รูปที่ 6.2 ผลตอบสนองเมื่อแปรผันค่าครรชนีเสถียรภาพ  $\gamma_1$

เอกสารนี้เป็นเอกสารที่สงวนไว้สำหรับการใช้งานเพื่อการศึกษาเท่านั้น ไม่อนุญาตให้นำไปใช้ประโยชน์ด้านการค้า ไม่ว่าจะกรณีใดๆ ทั้งสิ้น อีกทั้งห้ามมิให้ดัดแปลงเนื้อหา และต้องอ้างอิงถึงเจ้าของเอกสารทุกครั้งที่มีการนำไปใช้

ในรูปที่ 6.1 และ 6.2 จะเห็นว่าเมื่อค่าครรชนีเสถียรภาพมากขึ้นผลตอบสนองต่อสัญญาณอ้างอิงไม่มีการเปลี่ยนแปลงใดๆ แต่ส่งผลให้ความสามารถในการกำจัดสัญญาณรบกวนดีขึ้น โดยที่การแปรผันค่า  $\gamma_1$  มีผลต่อคุณสมบัติของระบบมากกว่าการแปรผันค่า  $\gamma_2$  เนื่องจากในสภาวะจริงอาจมีการสัญญาณรบกวนมากจึงควรเลือกค่าครรชนีเสถียรภาพที่มีค่าสูง ผู้ออกแบบจึงเลือกค่าครรชนีเสถียรภาพ  $\gamma_1$  เท่ากับ 5 และค่าครรชนีเสถียรภาพ  $\gamma_2$  เท่ากับ 4 ซึ่งให้ค่าพารามิเตอร์  $K_{df}$  มีค่าเท่ากับ 0.02183  $K_{pf}$  เท่ากับ 0.56026 และ  $K_f$  เท่ากับ 1.40065

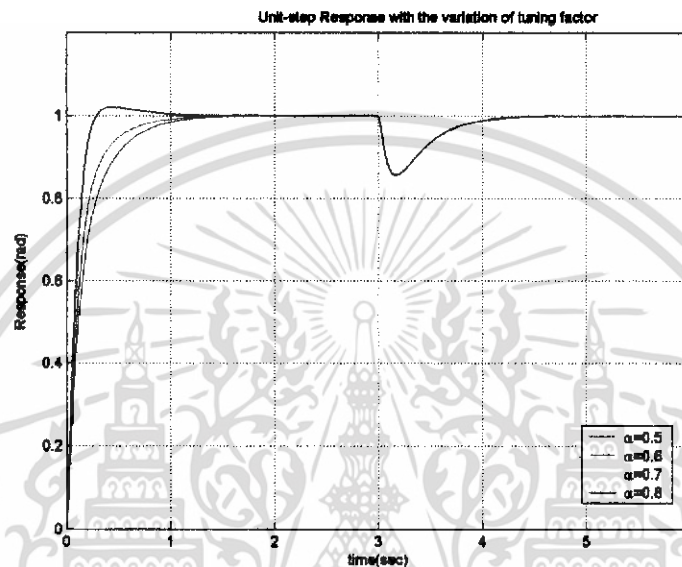
เมื่อนำค่าพารามิเตอร์ที่ได้มาจำลองทดสอบความสามารถในการกำจัดสัญญาณรบกวนของระบบขณะที่ระบบอยู่ที่จุดอ้างอิงได้ผลตอบสนองดังรูปที่ 6.3



รูปที่ 6.3 ผลตอบสนองต่อสัญญาณอ้างอิงเมื่อมีสัญญาณรบกวน ณ เวลา 3 วินาที  
ที่ค่าครรชนีเสถียรภาพ  $\gamma_1 = 5$  และ  $\gamma_2 = 4$

### 6.1.2 ผลตอบสนองเมื่อแปรผันค่าจูนนิ่งแฟกเตอร์

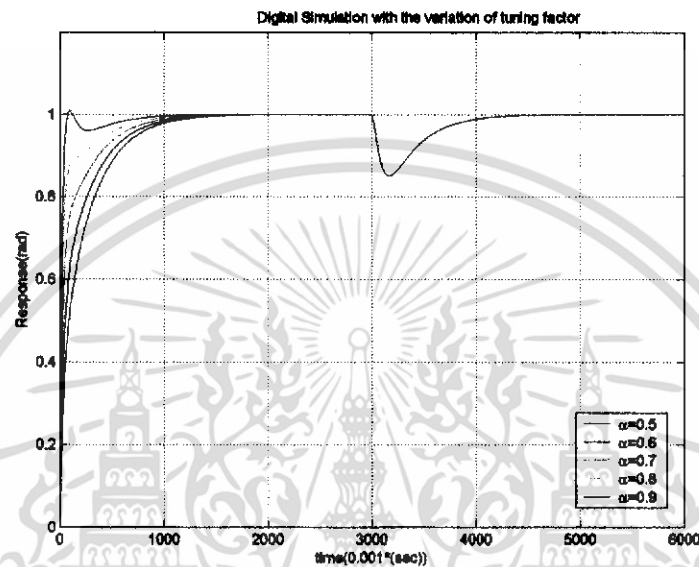
ในหัวข้อที่ผ่านมาเรามีผลตอบสนองชั่วคราวและการกำจัดสัญญาณรบกวนเป็นที่น่าพอใจโดยไม่มีอาการสั่นไหวส่วนเกินไปหน้า ( $\alpha = 0$ ) ซึ่งระบบยังมีช่วงเวลาไต่ขึ้นมาก จึงทำการจำลองลดช่วงเวลาไต่ขึ้นโดยแปรผันค่าจูนนิ่งแฟกเตอร์  $\alpha$  ได้รูปผลตอบสนองเมื่อใส่ส่วนเกินไปหน้าให้กับระบบควบคุมดังแสดงในรูปที่ 6.4 จึงสามารถเลือกค่าจูนนิ่งแฟกเตอร์  $\alpha$  ที่เหมาะสมได้



รูปที่ 6.4 ผลตอบสนองต่อสัญญาณอ้างอิงเมื่อทำการแปรผันค่าจูนนิ่งแฟกเตอร์  $\alpha$

เป็นที่ทราบกันดีว่าความเร็วในการตอบสนองสามารถปรับปรุงได้โดยการเพิ่มซีโรให้กับระบบโดยการเพิ่มส่วนเกินไปหน้า ซึ่งสามารถปรับค่าพารามิเตอร์ของส่วนเกินไปหน้าที่เพิ่มเข้าไปในระบบสองชั้นความอิสระได้โดยการแปรผันค่าจูนนิ่งแฟกเตอร์  $\alpha$  และตามปกติแล้วค่าจูนนิ่งแฟกเตอร์ที่มากขึ้นจะทำให้การตอบสนองของระบบเร็วขึ้นด้วย แต่อย่างไรก็ตามการตอบสนองที่รวดเร็วจะทำให้เกิดค่าพุ่งเกินได้ด้วยเช่นกัน ดังนั้นค่าจูนนิ่งแฟกเตอร์  $\alpha$  ที่เหมาะสมควรเป็นค่าที่ทำให้ระบบมีการตอบสนองที่รวดเร็วโดยไม่มีค่าพุ่งเกิน และค่าจูนนิ่งแฟกเตอร์  $\alpha$  นี้จะส่งผลกระทบต่อความเร็วในการตอบสนองเท่านั้นแต่จะไม่มีอิทธิพลต่อความสามารถในการกำจัดสัญญาณรบกวนในการศึกษาเปรียบเทียบจึงทดสอบผลตอบสนองต่อสัญญาณอ้างอิงเท่านั้น

จากการจำลองระบบในช่วงเวลาต่อเนื่อง ดังรูปที่ 6.4 จะเห็นว่าค่าจูนนิ่งแฟกเตอร์  $\alpha$  ที่ทำให้ระบบมีการตอบสนองเร็วที่สุดโดยไม่มีค่าพุงเกินคือ 0.7 และจากการจำลองระบบในช่วงเวลาไม่ต่อเนื่องเพื่อให้เหมือนกับการทดลองระบบจริงได้ค่าจูนนิ่งแฟกเตอร์  $\alpha$  ที่ทำให้ระบบมีการตอบสนองเร็วที่สุดโดยไม่มีค่าพุงเกินคือ 0.7 เช่นเดียวกันดังแสดงในรูปที่ 6.5 และมีค่า  $K_{pr}$  เท่ากับ 0.39228 และค่า  $K_d$  เท่ากับ 0.021968



รูปที่ 6.5 ผลตอบสนองต่อสัญญาณอ้างอิงในช่วงเวลาไม่ต่อเนื่อง เมื่อทำการแปรผันค่าจูนนิ่งแฟกเตอร์  $\alpha$

## 6.2 ผลการทดลอง

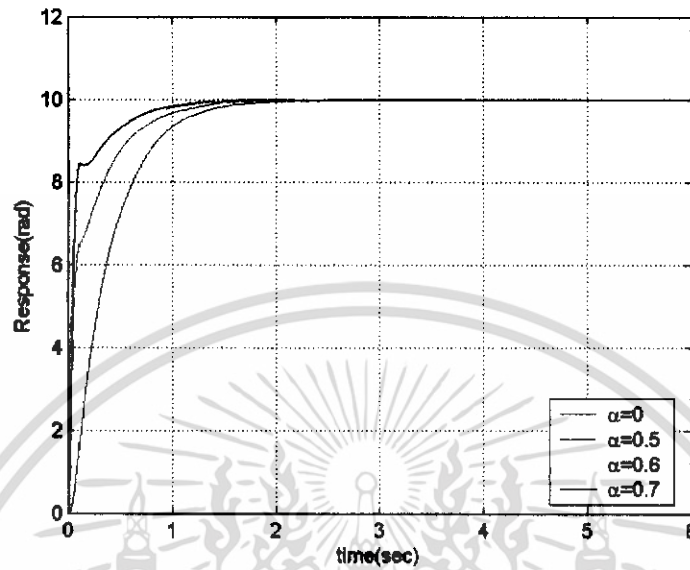
ในการทดลองกับระบบจริงโดยควบคุมตำแหน่งของมอเตอร์กระแสตรงด้วยตัวควบคุมแบบสองชั้นความอิสระ เพื่อทดสอบความสามารถของระบบ ซึ่งมีค่าครรชนีเสถียรภาพ  $\gamma_1$  เท่ากับ 5 ค่าครรชนีเสถียรภาพ  $\gamma_2$  เท่ากับ 4 และค่าจูนนิ่งแฟกเตอร์  $\alpha$  เท่ากับ 0.7 สามารถคำนวณหาค่าพารามิเตอร์  $K_{df}$ ,  $K_{pf}$ ,  $K_{pr}$ ,  $K_{dr}$  และ  $K_i$  ได้เท่ากับ 0.02183, 0.56026, 0.39228, 0.021968 และ 1.40065 ตามลำดับ โดยระบบควบคุมแบบสองชั้นความอิสระนี้ดำเนินการโดยคอมพิวเตอร์ส่วนบุคคลซึ่งโปรแกรมโดยใช้ภาษาซี และมีค่าช่วงเวลาซีกตัวอย่าง (sampling time) 0.001 วินาที

### 6.2.1 ผลตอบสนองต่อสัญญาณอ้างอิง

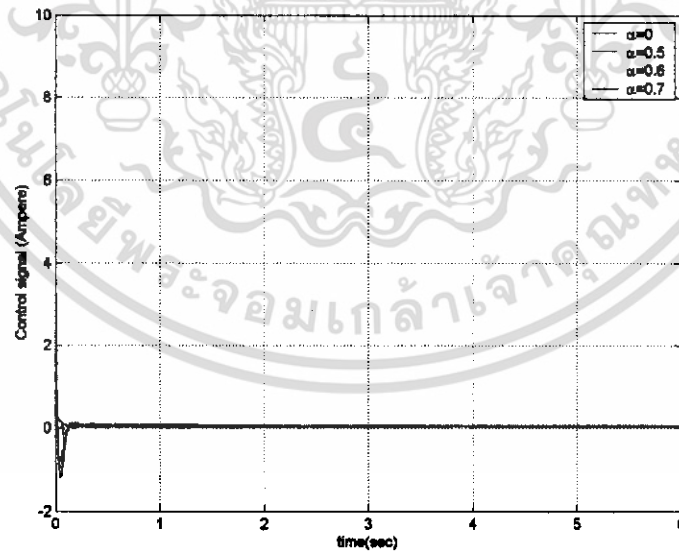
จากรูปที่ 6.6 และรูปที่ 6.7 จะเห็นว่าระบบที่ค่าจูนนิ่งแฟกเตอร์  $\alpha$  เท่ากับ 0.7 มีผลตอบสนองไม่เรียบ เมื่อการทดลองกับระบบจริงซึ่งเลือกค่าจูนนิ่งแฟกเตอร์  $\alpha$  เท่ากับ 0.6 ซึ่งให้ผลตอบสนองค่อนข้างดีและมีเวลาไคล้ขึ้นน้อย รวมทั้งการเปลี่ยนค่าจูนนิ่งแฟกเตอร์ยังไม่ส่งผลต่อความสามารถในการกำจัดสัญญาณรบกวนอีกด้วย รายละเอียดของผลตอบสนองดังแสดงในตารางที่ 6.3 ซึ่งจะเห็นว่าเมื่อ  $\alpha$  มีค่าเป็นศูนย์หรือขณะที่ระบบเป็นระบบควบคุมแบบโอพีดี มีเวลาไคล้ขึ้นมากกว่าเมื่อระบบมีส่วนป้อนไปหน้าหรือขณะที่ระบบเป็นระบบควบคุมแบบสองชั้นความอิสระ

ตารางที่ 6.3 ผลการทดลองการตอบสนองต่อสัญญาณอ้างอิงของระบบ

$\alpha$	$t_r$ (sec)	$P_o$ (%)	$t_s$ (sec)
0	0.764	0	1.441
0.5	0.573	0	1.235
0.6	0.426	0	1.103
0.7	0.294	0	1.000



รูปที่ 6.6 ผลตอบสนองต่อสัญญาณอ้างอิง

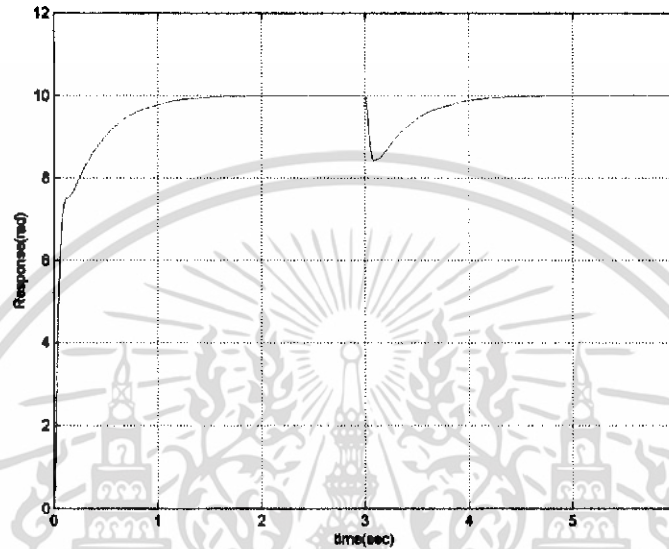


รูปที่ 6.7 สัญญาณควบคุม

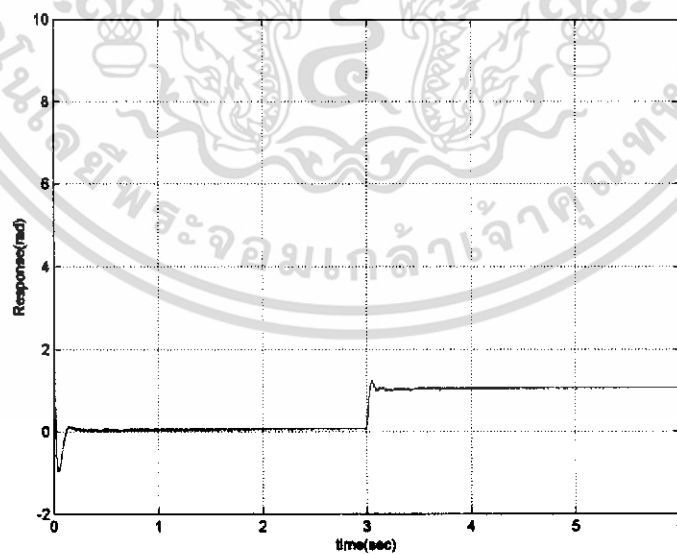
เอกสารนี้เป็นเอกสารที่สงวนไว้สำหรับการใช้งานเพื่อการศึกษาเท่านั้น ไม่อนุญาตให้นำไปใช้ประโยชน์ด้านการค้า ไม่ว่าจะกรณีใดๆ ทั้งสิ้น อีกทั้งห้ามมิให้ดัดแปลงเนื้อหา และต้องอ้างอิงถึงเจ้าของเอกสารทุกครั้งที่มีการนำไปใช้

### 6.2.2 การกำจัดสัญญาณรบกวนคงที่

ขณะที่มอเตอร์คงตำแหน่งอยู่ที่ 10 เวกอน ๓ วินาที ป้อนสัญญาณรบกวนให้กับระบบ ดังแสดงในรูปที่ 6.8 และสัญญาณควบคุมในรูปที่ 6.9 จะเห็นว่าผลตอบสนองมีลักษณะใกล้เคียงกับผลตอบสนองจากการจำลอง



รูปที่ 6.8 ผลตอบสนองต่อสัญญาณอ้างอิงเมื่อมีสัญญาณรบกวน ๓ เวลา 3 วินาที



รูปที่ 6.9 สัญญาณควบคุม

เอกสารนี้เป็นเอกสารที่สงวนไว้สำหรับการใช้งานเพื่อการศึกษาเท่านั้น ไม่อนุญาตให้นำไปใช้ประโยชน์ด้านการค้า ไม่ว่าจะกรณีใดๆ ทั้งสิ้น อีกทั้งห้ามมิให้ดัดแปลงเนื้อหา และต้องอ้างอิงถึงเจ้าของเอกสารทุกครั้งที่มีการนำไปใช้

## บทที่ 7

### บทสรุป

ในงานปริญาานิพนธ์นี้ได้นำเสนอการประยุกต์ตัวควบคุมแบบสองชั้นความอิสระมาใช้ในการควบคุมมอเตอร์กระแสตรง ตัวควบคุมแบบสองชั้นความอิสระได้รับการพัฒนาจากตัวควบคุมแบบโอพีดีโดยเพิ่มส่วนป้อนไปหน้าเข้าไป เพื่อให้ตัวควบคุมสามารถปรับคุณสมบัติได้ทั้งการตอบสนองต่อสัญญาณอ้างอิงที่รวดเร็วและการกำจัดสัญญาณรบกวนที่ดี

เนื่องจากเลือกใช้วิธีแผนผังคำสั่งประสิทธิภาพในการออกแบบพารามิเตอร์ จึงต้องทราบสมการพลวัตแบบเชิงเส้นของมอเตอร์กระแสตรงโดยหาได้จากการทดลองระบบวงเปิด ซึ่งผลตอบสนองจะทำให้ค่าพารามิเตอร์ของมอเตอร์กระแสตรงได้ จากนั้นจึงปรับค่าพารามิเตอร์ของระบบควบคุมโดยวิธีแผนผังคำสั่งประสิทธิภาพ โดยการเลือกค่าครชนีเสถียรภาพ  $\gamma_1$  ค่าคงตัวเวลาสมมูล  $\tau$  และค่าจูนนิ่งแฟคเตอร์  $\alpha$  ที่เหมาะสม การปรับความสามารถในการกำจัดสัญญาณรบกวนนั้นทำได้จากการเลือกค่าครชนีเสถียรภาพ  $\gamma_1$  และ  $\gamma_2$  ซึ่งค่าครชนีเสถียรภาพที่มากขึ้นส่งผลให้การกำจัดสัญญาณรบกวนดีขึ้นแต่จะส่งผลให้ช่วงเวลาเข้าที่ช้าลงด้วย ในขณะที่การปรับความเร็วในการตอบสนองต่อสัญญาณอ้างอิงทำได้จากการกำหนดช่วงเวลาเข้าที่  $t_r$  เพื่อหาค่าคงตัวเวลาสมมูล  $\tau$  และการเลือกค่าจูนนิ่งแฟคเตอร์  $\alpha$  ที่เหมาะสมโดยค่าจูนนิ่งแฟคเตอร์  $\alpha$  ที่มากขึ้นให้ผลตอบสนองที่เร็วขึ้นแต่ผลตอบสนองที่เร็วมากทำให้เกิดค่าพุ่งเกิน(overshoot) ได้ ซึ่งค่าจูนนิ่งแฟคเตอร์  $\alpha$  นี้จะมีผลต่อค่าพารามิเตอร์ในส่วนป้อนไปหน้าเพียงส่วนเดียวจึงทำให้สามารถปรับคุณสมบัติการตอบสนองต่อสัญญาณอ้างอิงอย่างอิสระจากการปรับความสามารถในการกำจัดสัญญาณรบกวน

จากผลการจำลองและจากการทดลองชี้ให้เห็นว่าระบบควบคุมแบบสองชั้นความอิสระมีผลตอบสนองที่รวดเร็วและการกำจัดสัญญาณรบกวนที่ดี แต่ผลจากการทดลองและผลจากการจำลองอาจต่างกันเล็กน้อยเนื่องจากระบบจริงเป็นแบบไม่เชิงเส้นในขณะที่ระบบในการจำลองเป็นแบบเชิงเส้น อย่างไรก็ตามผลการทดลองมีลักษณะใกล้เคียงกับผลการจำลองมาก

## เอกสารอ้างอิง

- [1] Don Isarakorn. **“Position Control of Ultrasonic Linear Motor Using PDFF Controller Designed by CDM.”** Master of Control Engineering Thesis of School of Graduate Studies, King Mongkut’s Institute of Technology Ladkrabang.2003.
- [2] Don Isarakorn., Natapong Sukrasariwattanagul., Taworn Benjanarasuth., Jongkol Ngamwiwit, Noriyuki Komine. **“Two-Degree-of-Freedom Controller Designed by CDM.”** ICCAS 2004
- [3] Dal Y. Ohm. **“PID and PDFF Compensators for Motion Control”**, Drivetech, Inc., Blackburg, Virginia
- [4] Katsuhiko Ogata. **Modern Control Engineering.**4<sup>th</sup> ED. New Jersey : Prentice-Hall, Inc.2002.
- [5] Shunji Manabe. **“Importance of Coefficient Diagram in Polynomial Method”** **The 42<sup>nd</sup> IEEE Conference on Decision and Control.** Maui, Hawaii USA.2003.

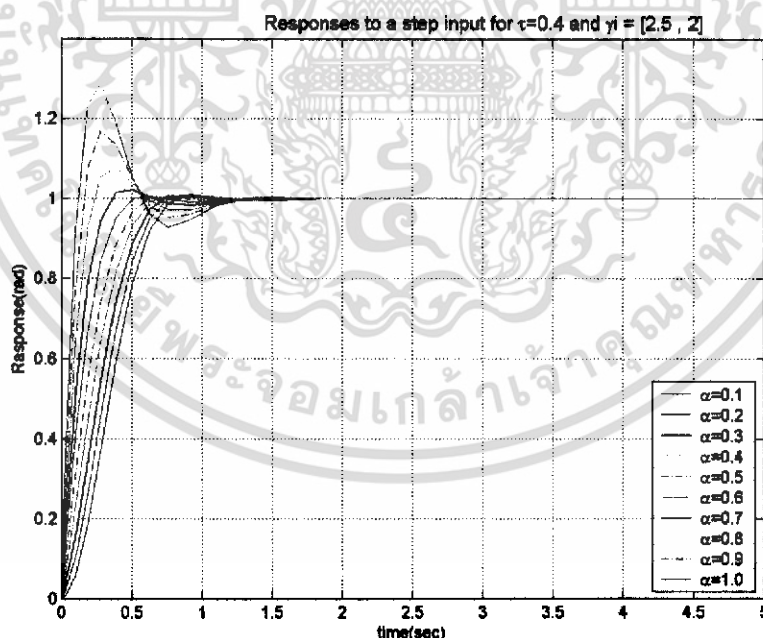
เอกสารนี้เป็นเอกสารที่สงวนไว้สำหรับการใช้งานเพื่อการศึกษาเท่านั้น ไม่อนุญาตให้นำไปใช้ประโยชน์ด้านการค้า ไม่ว่าจะกรณีใดๆ ทั้งสิ้น อีกทั้งห้ามมิให้ดัดแปลงเนื้อหา และต้องอ้างอิงถึงเจ้าของเอกสารทุกครั้งที่มีการนำไปใช้

## ภาคผนวก ก

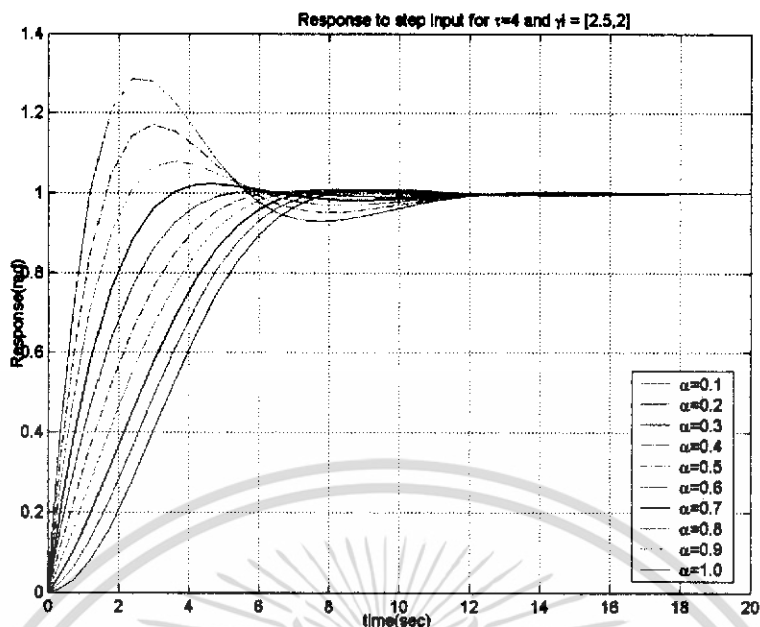
ผลกระทบของค่าฐนึ่งแฟคเตอร์  $\alpha$ 

ค่าฐนึ่งแฟคเตอร์  $\alpha$  ส่งผลกระทบโดยตรงต่อความเร็วในการตอบสนองซึ่งค่าฐนึ่งแฟคเตอร์  $\alpha$  ที่มากขึ้นส่งผลให้ผลตอบสนองรวดเร็วขึ้น แต่อย่างไรก็ตามผลตอบสนองที่รวดเร็วอาจก่อให้เกิดค่าพุ่งเกินได้ ดังนั้นการศึกษาถึงผลกระทบของค่าฐนึ่งแฟคเตอร์  $\alpha$  ต่อความเร็วในการตอบสนองจึงมีความสำคัญ เพื่อการเลือกค่าฐนึ่งแฟคเตอร์  $\alpha$  ที่เหมาะสมที่ให้ผลตอบสนองที่รวดเร็วโดยปราศจากค่าพุ่งเกิน ซึ่งศึกษาได้จากการจำลองผล

ในการจำลองผลกระทบของค่าฐนึ่งแฟคเตอร์  $\alpha$  ต่อความเร็วในการตอบสนองต่อสัญญาณอ้างอิงของระบบควบคุมแบบสองชั้นความอิสระ โดยแปรผันค่าฐนึ่งแฟคเตอร์  $\alpha$  ในขณะที่ค่าครรชนีเสถียรภาพเท่ากับค่าครรชนีเสถียรภาพมาตรฐานและค่าครรชนีเสถียรภาพที่มากขึ้น แสดงในรูปที่ ก.1 ถึง ก.4 โดยผลตอบสนองต่อสัญญาณอ้างอิงเมื่อค่าครรชนีเสถียรภาพเท่ากับค่าครรชนีเสถียรภาพมาตรฐาน ( $\gamma_1=2.5$  และ  $\gamma_2=2$ ) และค่าคงตัวเวลาสมมูล  $\tau$  มีค่าเป็น 0.4 แสดงในรูปที่ ก.1 และเมื่อค่าคงตัวเวลาสมมูล  $\tau$  มีค่าเป็น 4 แสดงในรูปที่ ก.2

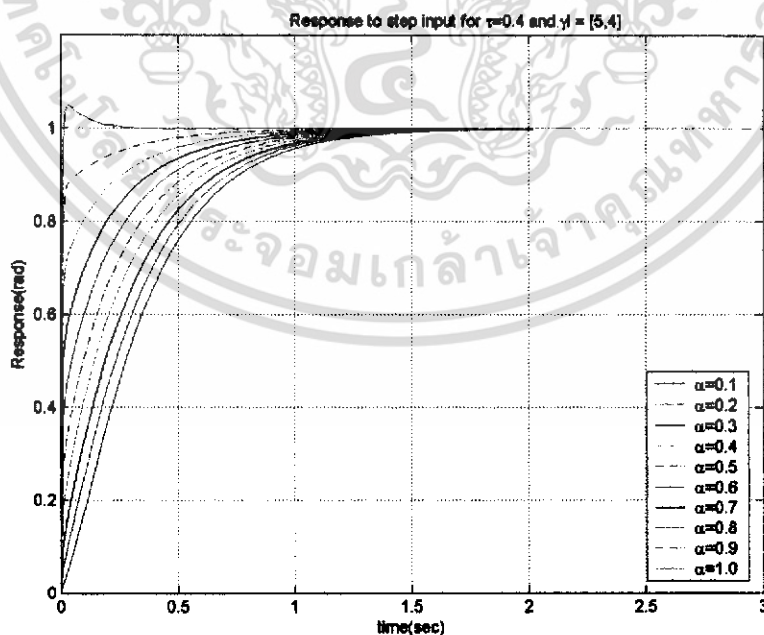


รูปที่ ก.1 ผลตอบสนองต่อสัญญาณอ้างอิงเมื่อ  $\gamma_1=2.5, \gamma_2=2$  และ  $\tau=0.4$



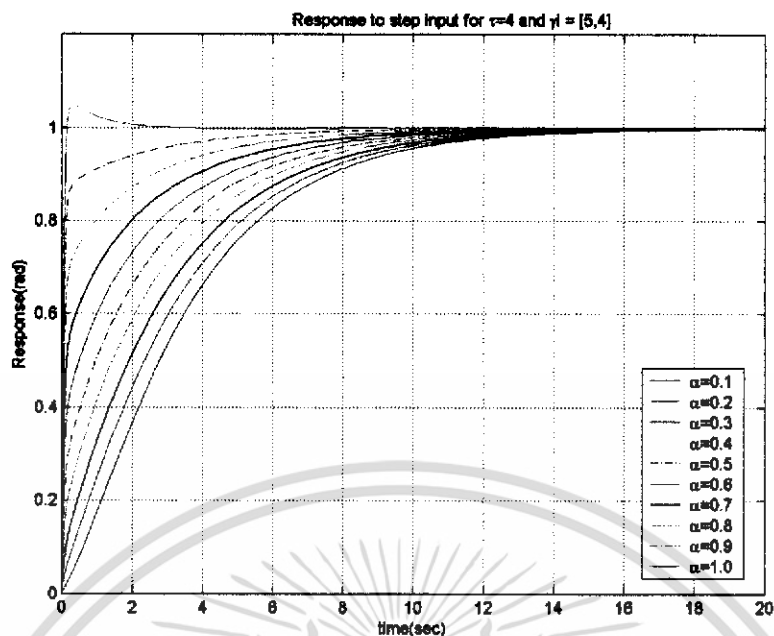
รูปที่ ก.2 ผลตอบสนองต่อสัญญาณอ้างอิงเมื่อ  $\gamma_1=2.5, \gamma_2=2$  และ  $\tau=4$

ผลตอบสนองต่อสัญญาณอ้างอิงเมื่อค่าครรชนีเสถียรภาพมีค่ามากขึ้น ( $\gamma_1=5$  และ  $\gamma_2=4$ ) และค่าคงตัวเวลาสมมูล  $\tau$  มีค่าเป็น 0.4 แสดงในรูปที่ ก.3 และค่าคงตัวเวลาสมมูล  $\tau$  มีค่าเป็น 4 แสดงในรูปที่ ก.4 เมื่อให้  $\gamma_1=7.5$  และ  $\gamma_2=6$  ที่ค่าคงตัวเวลาสมมูล  $\tau$  มีค่าเป็น 4 มีผลตอบสนอง ดังแสดงในรูปที่ ก.5

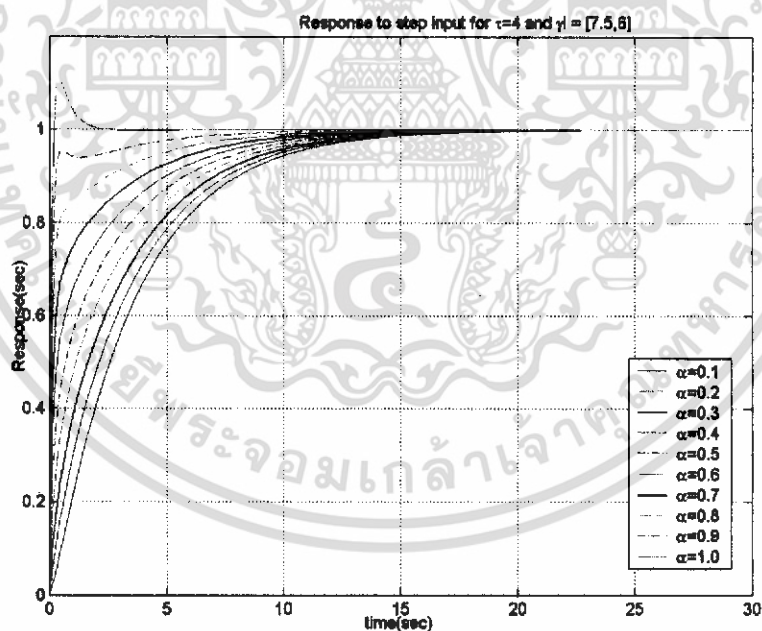


รูปที่ ก.3 ผลตอบสนองต่อสัญญาณอ้างอิงเมื่อ  $\gamma_1=5, \gamma_2=4$  และ  $\tau=0.4$

เอกสารนี้เป็นเอกสารที่สงวนไว้สำหรับการใช้งานเพื่อการศึกษาเท่านั้น ไม่อนุญาตให้นำไปใช้ประโยชน์ด้านการค้า ไม่ว่าจะกรณีใดๆ ทั้งสิ้น อีกทั้งห้ามมิให้ดัดแปลงเนื้อหา และต้องอ้างอิงถึงเจ้าของเอกสารทุกครั้งที่มีการนำไปใช้



รูปที่ ก.4 ผลตอบสนองต่อสัญญาณอ้างอิงเมื่อ  $\gamma_1=5$ ,  $\gamma_2=4$  และ  $\tau=4$



รูปที่ ก.5 ผลตอบสนองต่อสัญญาณอ้างอิงเมื่อ  $\gamma_1=7.5$ ,  $\gamma_2=6$  และ  $\tau=4$

เอกสารนี้เป็นเอกสารที่สงวนไว้สำหรับการใช้งานเพื่อการศึกษาเท่านั้น ไม่อนุญาตให้นำไปใช้ประโยชน์ด้านการค้า  
ไม่ว่ากรณีใดๆ ทั้งสิ้น อีกทั้งห้ามมิให้ดัดแปลงเนื้อหา และต้องอ้างอิงถึงเจ้าของเอกสารทุกครั้งที่มีการนำไปใช้

จากรูปที่ ก.1 และ ก.2 จะเห็นว่าผลตอบสนองที่รวดเร็วที่สุดโดยปราศจากค่าพุ่งเกินอยู่ที่ค่าจูนนิ่งแฟกเตอร์  $\alpha$  มีค่าเท่ากับ 0.6 แม้ว่าค่าคงตัวเวลาสมมูล  $\tau$  จะเปลี่ยนแปลงไปก็ตาม เมื่อค่าครรรชนีเสถียรภาพมากขึ้น ค่าจูนนิ่งแฟกเตอร์  $\alpha$  ที่เหมาะสมมีค่าเท่ากับ 0.8 ถึง 0.9 ดังแสดงในรูปที่ ก.3 ถึงรูปที่ ก.5 และที่ค่าจูนนิ่งแฟกเตอร์  $\alpha$  สูง ๆ อาจให้ผลตอบสนองที่ไม่เรียบได้ ดังนั้นค่าจูนนิ่งแฟกเตอร์  $\alpha$  ควรมีค่าอยู่ที่ประมาณ 0.6 ถึง 0.8

ในการออกแบบจริง ค่าครรรชนีเสถียรภาพที่เหมาะสมคือค่าครรรชนีเสถียรภาพมาตรฐาน ดังนั้นในขั้นแรกค่าจูนนิ่งแฟกเตอร์  $\alpha$  ที่เลือกใช้ควรมีค่าเท่ากับ 0.6 แต่ผู้ออกแบบสามารถเลือกค่าจูนนิ่งแฟกเตอร์  $\alpha$  สูงกว่านี้ได้หากค่าครรรชนีเสถียรภาพมีค่ามากขึ้น



เอกสารนี้เป็นเอกสารที่สงวนไว้สำหรับการใช้งานเพื่อการศึกษาเท่านั้น ไม่อนุญาตให้นำไปใช้ประโยชน์ด้านการค้าไม่ว่ากรณีใดๆ ทั้งสิ้น อีกทั้งห้ามมิให้ดัดแปลงเนื้อหา และต้องอ้างอิงถึงเจ้าของเอกสารทุกครั้งที่มีการนำไปใช้

## ภาคผนวก ข

## โปรแกรมภาษาซีที่ใช้ในการออกแบบตัวควบคุมสำหรับการทดลอง

```

#include <stdio.h> // for enoder
#include <bios.h> // for enoder
#include <conio.h> // for enoder

#include <stdlib.h> // for D to A
#include <string.h> // for D to A
#include <time.h> // for D to A
#include <dos.h> // for D to A
#include <process.h> // for D to A
#include <math.h> // for D to A

#include "DA.H" // for D to A
#include "GETBAR.H" // for enoder

void interrupt (*oldIrq3)(void);
void interrupt countToggle(void);

#define drive_port 0x378 // Number of drive port
#define file_out "c:\\data.m" // open file (name is final.m)

#define cls(l); { short i; for(i=l; i<25; i++) lineclr(i); } // for D to A
#define Locate(x,y) printf("\x1b[%d;%dH", (y)+1, (x)+1) // for D to A
#define lineclr(l) printf("\x1b[s\x1b[%d;1H\x1b[0K\x1b[u", l+1) // for D to A

#define range DA_10V // for D to A

#define IRQ3 0x0B /* IRQ3 address */

PCI_CONFIG PciData; // for enoder

DASMPLCHREQ SmplChReq[2]; // for D to A
DABOARDSPEC BoardSpec; // for D to A
HANDLE OpenBoard(void); // for D to A
void INITIAL_DTOA(void); // for D to A
void CLOSE_DTOA(void); // for D to A

int hexout = 2047;
float volt = 0.0;
WORD DaData[1];
int swith = 1;
int key = 0;
long count = 0;
float time_r = 0.0;

```

เอกสารนี้เป็นเอกสารสงวนไว้สำหรับการใช้งานเพื่อการศึกษาเท่านั้น ไม่อนุญาตให้นำไปใช้ประโยชน์ด้านการค้า  
ไม่ว่ากรณีใดๆ ทั้งสิ้น อีกทั้งห้ามมิให้ดัดแปลงเนื้อหา และต้องอ้างอิงถึงเจ้าของเอกสารทุกครั้งที่มีการนำไปใช้

```

HANDLE hDevice;

//float f_hat = 0.0;
//float fs2 = 0.13 ;
//float fc2 = 0.097 ;
//float fs1 = 0.19 ;
//float fc1 = 0.136 ;

float f_hat = 0.0;
float fs2 = 0.19 ;
float fc2 = 0.13 ;
float fs1 = 0.19 ;
float fc1 = 0.13 ;

// parameter of encoder -----
int adr0,adr1,bus_info = 0.0;
int lByte = 0.0;
int mByte = 0.0;
int hByte = 0.0;

long dwCounter2 = 0.0;

int direction_1 = 0.0;
int direction_2 = 0.0;

// parameter of controller -----
float distane = 0.00;
float step_time = 0.001;
float setpoint = 0.00;
float eer = 0.00;
float eer_old = 0.00;
float x = 0.00;
float x_old = 0.00;
float x_dot = 0.00;
float th_1_old = 0.00;
float th_2_old = 0.00;
float th_1 = 0.00;
float th_2 = 0.00;
float th_1_dot = 0.00;
float th_2_dot = 0.00;
float ui_old = 0.00;
float ui = 0.00;
float u = 0.00;

float th_1_dot_old = 0.00;
int nnn = 0.0;

int nn = 0.0;
float kk = 0.38;

```

เอกสารนี้เป็นเอกสารที่สงวนไว้สำหรับการใช้งานเพื่อการศึกษาเท่านั้น ไม่อนุญาตให้นำไปใช้ประโยชน์ด้านการค้า  
ไม่ว่ากรณีใดๆ ทั้งสิ้น อีกทั้งห้ามมิให้ดัดแปลงเนื้อหา และต้องอ้างอิงถึงเจ้าของเอกสารทุกครั้งที่มีการนำไปใช้

```

float kpr = 0.42;
float kdr = 0.042;
float ki = 1.401;
float kdf = 0.022;
float kpf = 0.56;

float r1 = 0.0;

float r = 3.141;

float c1 = 0.0;
float c = 0.0;
float e1 = 0.0;
float e = 0.0;
float it1 = 0.0;
float it = 0.0;

float r_dot = 0.0;
float c_dot = 0.0;

float c2 = 0.0;
float r2 = 0.0;
float u2 = 0.0;
float u1 = 0.0;

//-----
// Function void main()
//-----

int main(void){

// open file -----
FILE *data_fout;
clrscr();
data_fout = fopen(file_out,"wt+");
fprintf(data_fout,"sm = [\n");
// -----
// Initial value of Digital to Analog PCI Card (PCI-3345A)-----
INITIAL_DTOA();
hDevice = OpenBoard();
DaGetDeviceInfo(hDevice, &BoardSpec);
SmplChReq[0].ulChNo = 1;
SmplChReq[0].ulRange = range;
//-----

// Initial Encoder PCI Card (PCI-6201E)-----
PciGetConfigRegEx(1, 0x1147, 6201, 0x1147, 0x0011,&bus_info,
&PciData);

```

เอกสารนี้เป็นเอกสารที่สงวนไว้สำหรับการใช้งานเพื่อการศึกษาเท่านั้น ไม่อนุญาตให้นำไปใช้ประโยชน์ด้านการค้า  
ไม่ว่ากรณีใดๆ ทั้งสิ้น อีกทั้งห้ามมิให้ดัดแปลงเนื้อหา และต้องอ้างอิงถึงเจ้าของเอกสารทุกครั้งที่มีการนำไปใช้

```

        adr0=PciData.BaseAddresses[0]&0xffff;
        adr1=PciData.BaseAddresses[1]&0xffff;
        outp(adr0+0x08,0x06); // time of encoder 1
        outp(adr0+0x09,0x06); // time of encoder 2
        outp(adr0+0x0A,0x06); // time of encoder 3
        outp(adr0+0x0d,0x01); // reset counter
//-----

// -----
// ----- START PROGRAM -----
// -----

while( !kbhit()
{

// in data of encoder_2 (th_1) -----
        outp(adr0+0x0c,0xAA);
        lByte=inp(adr0+0x01);
        mByte=inp(adr0+0x01);
        hByte=inp(adr0+0x01);
        dwCounter2= lByte+(( long)mByte << 8)+(( long)hByte<<16);
//-----
// Modofly data of encoder_2 (th_1) -----
        th_1 = dwCounter2*0.09 ; // 1 puls is 0.09 degree

//-----
        printf(" angle : %06IX ", dwCounter2);
        printf(" th_1 : %3.4lf\n", th_1*0.0175);

}

c1 = th_1*0.0175;

oldIrq3 = getvect(IRQ3); /* save the old interrupt vector */
setvect(IRQ3, countToggle); /* install the new interrupt handler */
outportb(0x21, ( inportb(0x21) & 0xF7 ) ); /* Unmask (Enable) IRQ3 */
label:
while( key == 1 )
{

// Modofly data of encoder_2 (th_1) -----

        th_1 = dwCounter2*0.09 ; // 1 puls is 0.09 degree
        c = th_1*0.0175;

```

เอกสารนี้เป็นเอกสารที่สงวนไว้สำหรับการใช้งานเพื่อการศึกษาเท่านั้น ไม่อนุญาตให้นำไปใช้ประโยชน์ด้านการค้า  
ไม่ว่ากรณีใดๆ ทั้งสิ้น อีกทั้งห้ามมิให้ดัดแปลงเนื้อหา และต้องอ้างอิงถึงเจ้าของเอกสารทุกครั้งที่มีการนำไปใช้

```

//-----
// Controler -----
//-----

        e = r - c;
        r_dot = (r - r1)/step_time;
        c_dot = (c - c1)/step_time;
        it = it1 + (e1+c)*step_time*(0.5);

        u = (kdr*r_dot)+(r*kpr)+(ki*it)-(kdf*c_dot)-(c*kpf);

//   volt = u + nnn;

        volt = u;

        r1 = r;
        c1 = c;
        e1 = e;
        it1 = it;
//-----

// modify volt output -----

        if (volt > 10)
            volt = 10;
        if (volt < -10)
            volt = -10;

// out data (volt) -----

        hexout=((volt+10)/20)*4095;
        DaData[0] = hexout;
        DaOutputDA( hDevice, 1, &SmplChReq[0], &DaData[0] );
//-----

// keep data (time_r , distane , th_1 , th_2) in H/D -----
        fprintf(data_fout,"%4.4f %4.4f %4.4f %4.4f\n",time_r,c_dot,volt,c);
        time_r = time_r + step_time ;

        if (time_r > 3)
            nnn = 0.5+0.072;

//-----
// set key off -----
        key = 0;
        count = 0;
//-----
    }
//-----

```

เอกสารนี้เป็นเอกสารที่สงวนไว้สำหรับการใช้งานเพื่อการศึกษาเท่านั้น ไม่อนุญาตให้นำไปใช้ประโยชน์ด้านการค้า  
ไม่ว่ากรณีใดๆ ทั้งสิ้น อีกทั้งห้ามมิให้ดัดแปลงเนื้อหา และต้องอ้างอิงถึงเจ้าของเอกสารทุกครั้งที่มีการนำไปใช้

```

if ( count <= 0xfffff)
{
    count = count + 1;
    goto label;
}
else
{
    setvect(IRQ3, oldIrq3);
    outportb(0x21, (inportb(0x21) | 0x08) );           // disable IRQ3

    fprintf(data_fout, "];\n");                        // end of file with "]"

    outp(drive_port,0);
        DaClose(hDevice);
    CLOSE_DTOA();
}

//-----
return(0);
}

//-----
// this ISR should execute each time IRQ3 goes high -----
//-----
void interrupt countToggle(void)
{
    disable();

    // in data of encoder_2 (th_1) -----
        outp(adr0+0x0c,0xAA);
    lByte=inp(adr0+0x01);
    mByte=inp(adr0+0x01);
    hByte=inp(adr0+0x01);
    dwCounter2= lByte+(( long)mByte << 8)+(( long)hByte<<16);

    //-----

    key = 1;

    outportb(0x20, 0x20);    // send EOI signal
    enable();
}
//-----

```

เอกสารนี้เป็นเอกสารที่สงวนไว้สำหรับการใช้งานเพื่อการศึกษาเท่านั้น ไม่อนุญาตให้นำไปใช้ประโยชน์ด้านการค้า  
ไม่ว่ากรณีใดๆ ทั้งสิ้น อีกทั้งห้ามมิให้ดัดแปลงเนื้อหา และต้องอ้างอิงถึงเจ้าของเอกสารทุกครั้งที่มีการนำไปใช้

```

//----- //
// Function   for D to A //
//----- //
//
HANDLE OpenBoard(void) //
{ //
HANDLE           hDevice; //
hDevice = DaOpen(3345, 0x0001, 0); //
return hDevice; //
} //
//----- //
void CLOSE_DTOA(void) //
{ //
char *pString; //
pString = "/R"; //
spawnl(P_WAIT,"dadrvi.exe",pString,NULL); //
} //
//----- //
void INITIAL_DTOA(void) //
{ //
char *pString; //
pString = "/B=1"; //
spawnl(P_WAIT,"dadrvi.exe",pString,NULL); //
} //
//----- //

```

เอกสารนี้เป็นเอกสารที่สงวนไว้สำหรับการใช้งานเพื่อการศึกษาเท่านั้น ไม่อนุญาตให้นำไปใช้ประโยชน์ด้านการค้า  
ไม่ว่ากรณีใดๆ ทั้งสิ้น อีกทั้งห้ามมิให้ดัดแปลงเนื้อหา และต้องอ้างอิงถึงเจ้าของเอกสารทุกครั้งที่มีการนำไปใช้

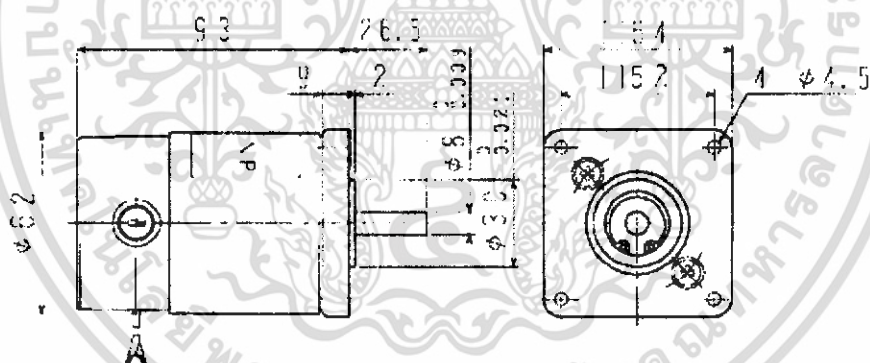
## ภาคผนวก ก

## ข้อมูลของมอเตอร์กระแสตรง

มอเตอร์กระแสตรงที่ใช้ในทำวิจัยเป็นมอเตอร์กระแสตรงรุ่น SS40E2-E จากบริษัท Sawamura Denki Kogyo ดังรูปที่ ก.1 โดยมีโครงสร้างดังรูปที่ ก.2 และมีข้อมูลของมอเตอร์กระแสตรงดังตาราง ก.1



รูปที่ ก.1 มอเตอร์กระแสตรง



รูปที่ ก.2 โครงสร้างของมอเตอร์กระแสตรง

ตารางที่ ก.1 ข้อมูลของตารางข้อมูล

Continuous rating				No load		Armature $\tau$	R inertia kg·cm <sup>2</sup> (·gf·cm <sup>2</sup> )	rGD <sup>2</sup> (tm) ms	(Ke) V/krpm	(Kt) N·m/A	Brush L mm
Voltage DC-V	Current A	Speed rpm	Torque N·m (kgf·cm)	Current A	Speed rpm						
12	3.2	2500	0.078 (0.8)	0.5	3200	1.1	0.4 (1.6)	30	3.75	0.036	10
24	1.5	2500	0.078 (0.8)	0.2	3200	4.3	0.4 (1.6)	30	7.5	0.072	
100	0.35	2500	0.078 (0.8)	0.05	3200	70	0.4 (1.6)	30	31.3	0.3	

เอกสารนี้เป็นเอกสารที่สงวนไว้สำหรับการใช้งานเพื่อการศึกษาเท่านั้น ไม่อนุญาตให้นำไปใช้ประโยชน์ด้านการค้าไม่ว่ากรณีใดๆ ทั้งสิ้น อีกทั้งห้ามมิให้ดัดแปลงเนื้อหา และต้องอ้างอิงถึงเจ้าของเอกสารทุกครั้งที่มีการนำไปใช้